



Vánoční výzdoba DNA aneb světýlka, elektrony a háčky ve službách biochemiků a biologů

Miroslav Fojta

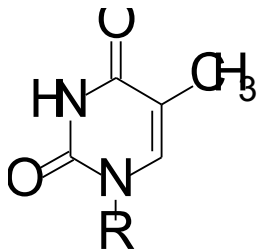
Biofyzikální ústav AVČR, v.v.i./CEITEC MU

4.11.2015 Ostrava, 5.11.2015 Brno

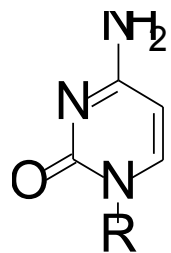


Co je to DNA?

pyrimidinové báze

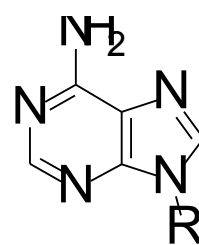


thymin (T)

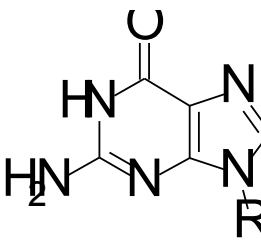


cytosin (C)

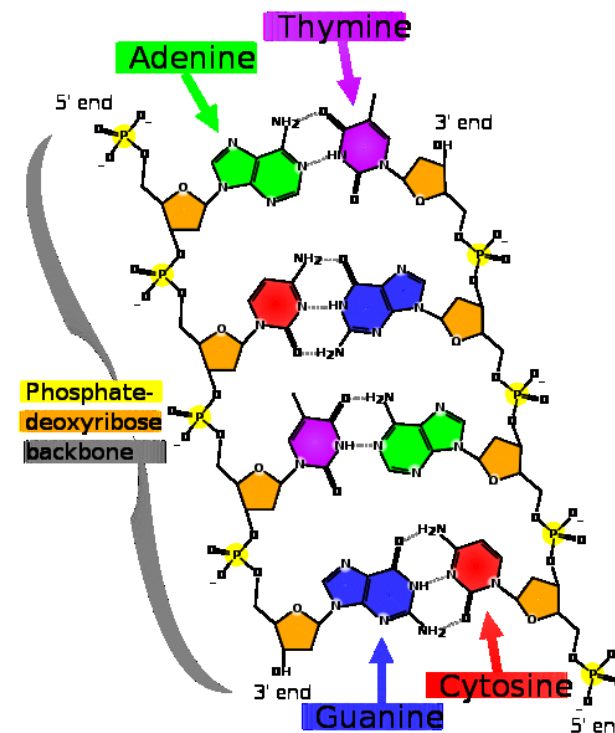
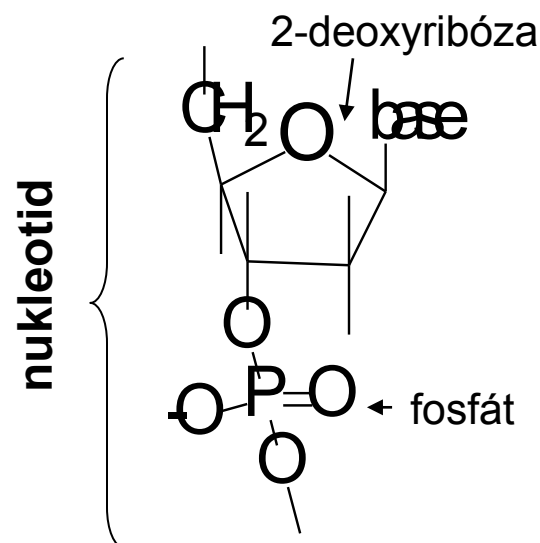
purinové báze



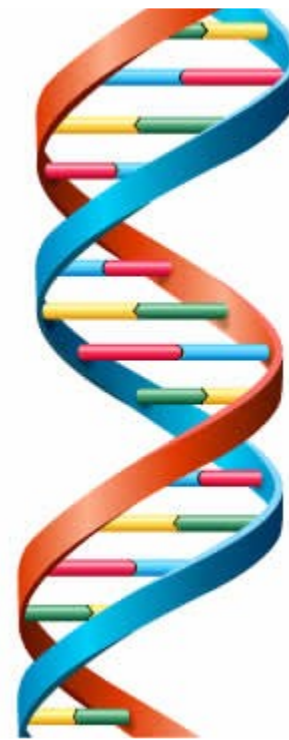
adenin (A)



guanin (G)



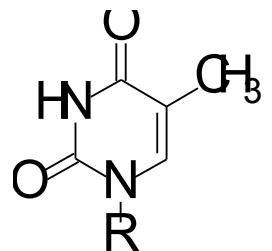
dvoušroubovice



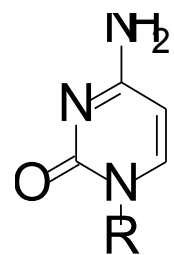
A
T
C
G

párování bazí v
řetězcích DNA

pyrimidinové báze

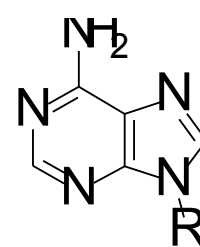


thymin (T)

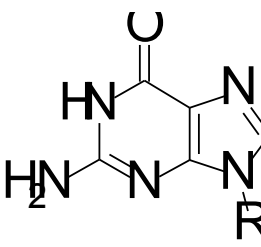


cytosin (C)

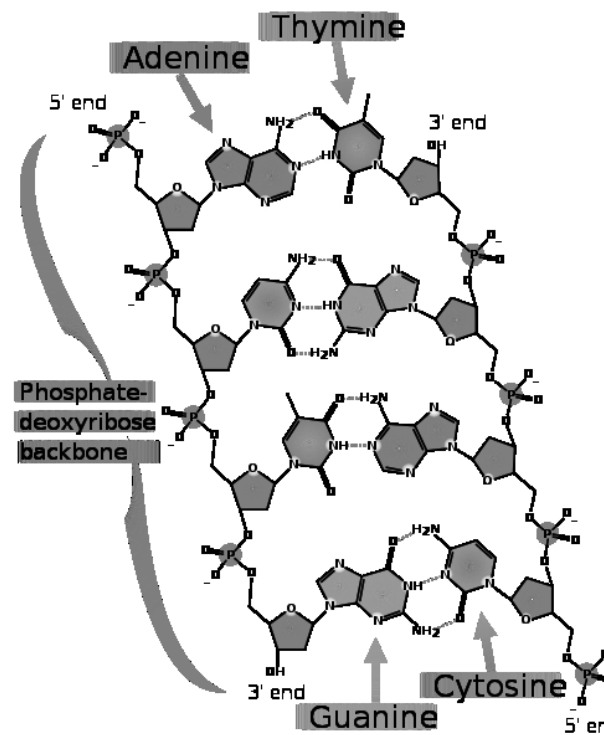
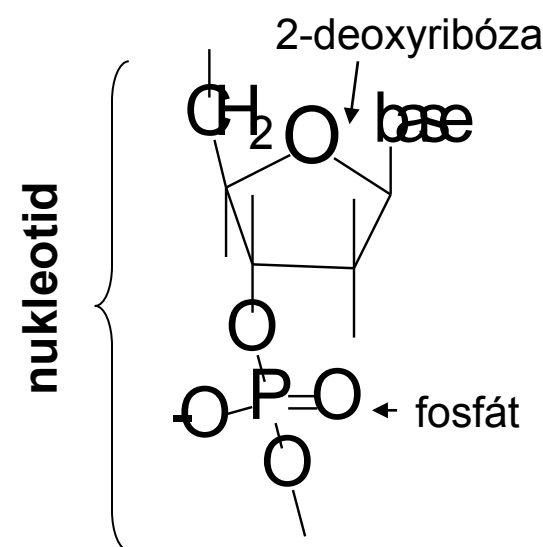
purinové báze



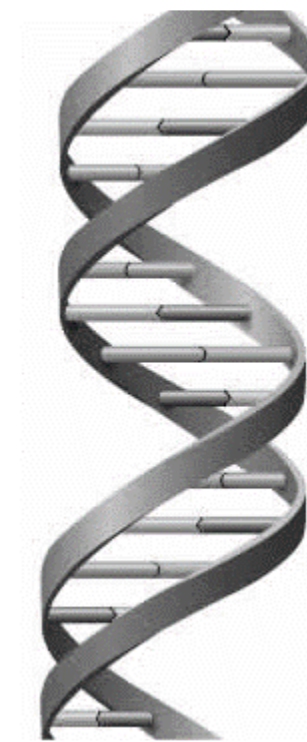
adenin (A)



guanin (G)

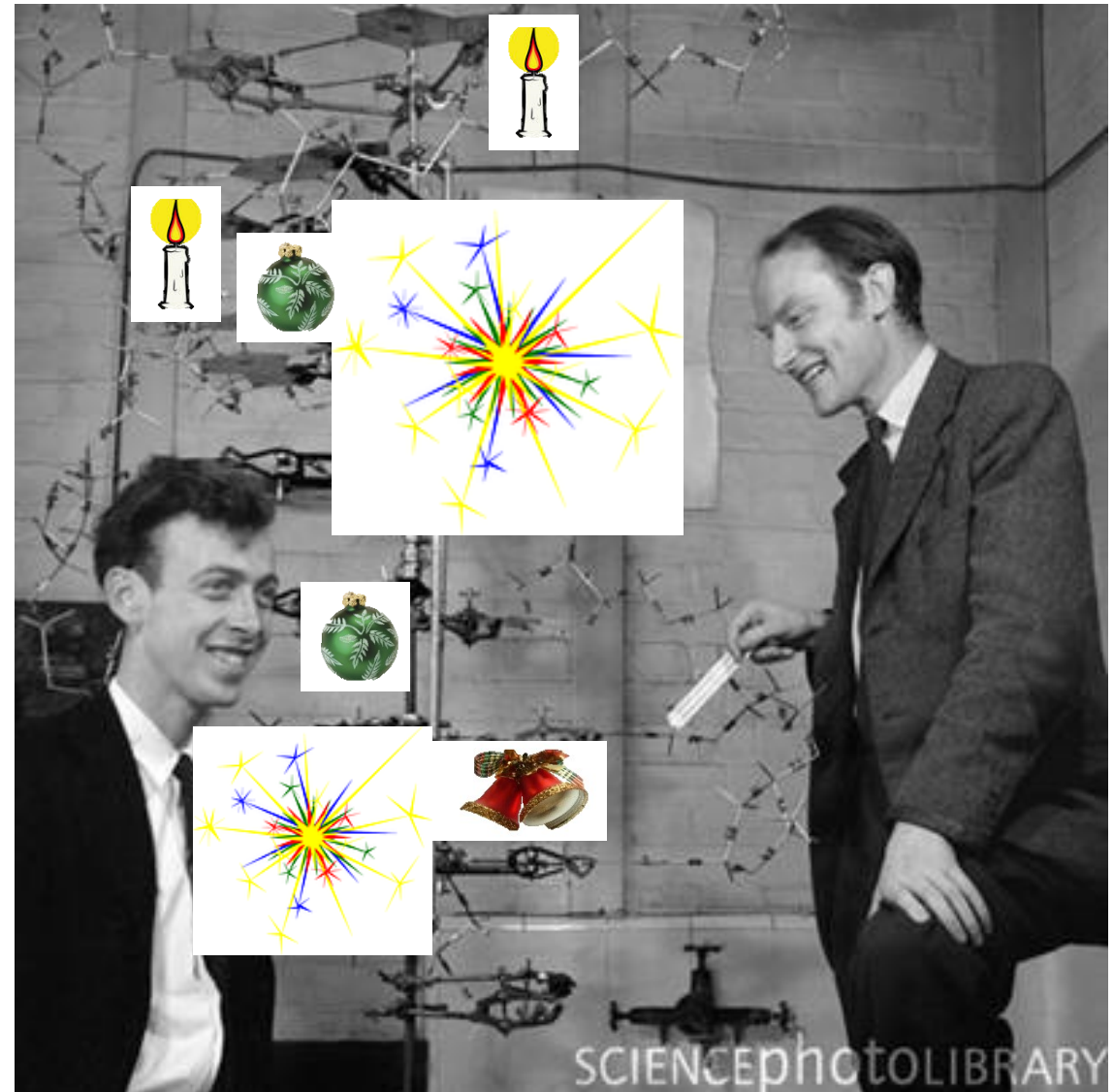
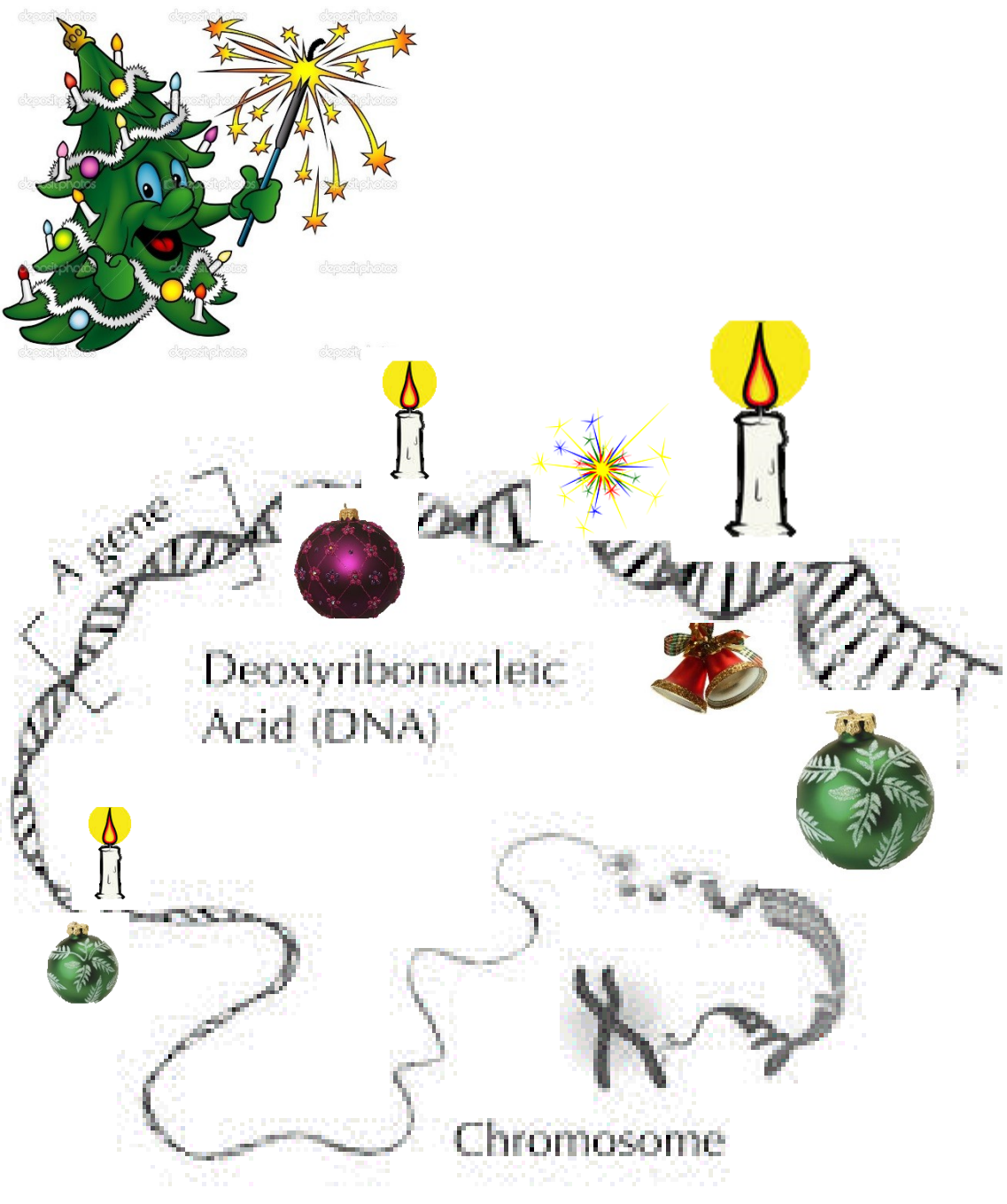


dvoušroubovice



A
T
C
G

párování bazí v
řetězcích DNA

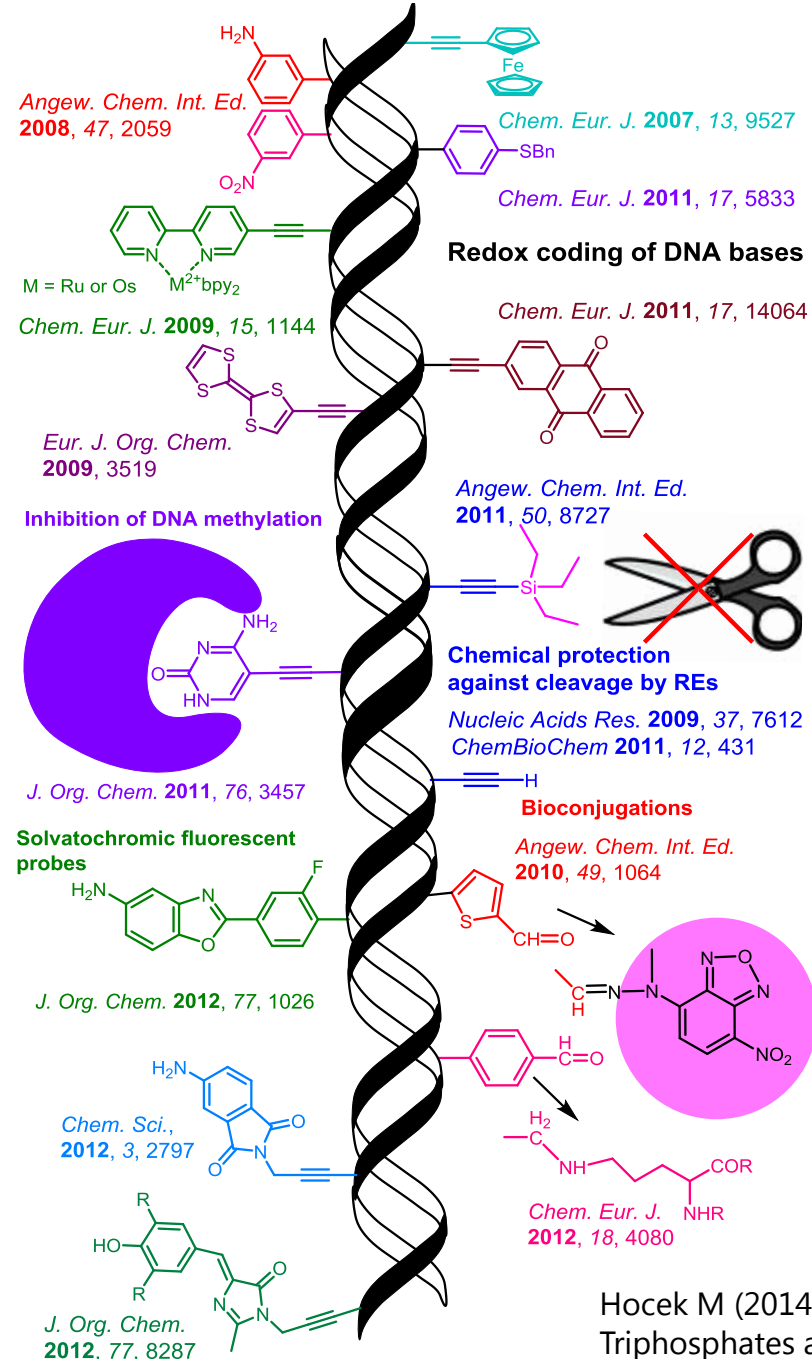




prof. Michal Hocek
(ÚOCHB AVČR Praha)

Ochranné skupiny

Fluorofory
(světýlka)



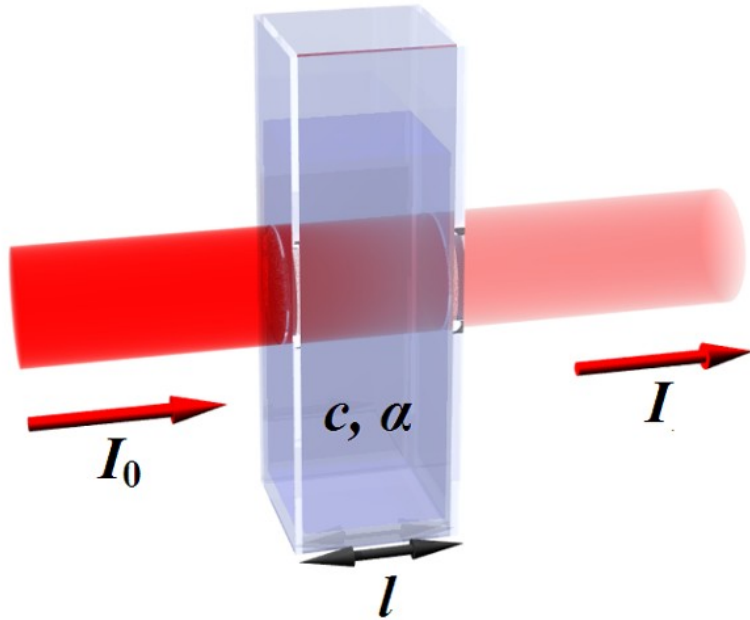
Redox značky
(hrátky s elektronami)

Reaktivní skupiny
(háčky a věšáčky)

Hocek M (2014) Synthesis of Base-Modified 2'-Deoxyribonucleoside Triphosphates and Their Use in Enzymatic Synthesis of Modified DNA for Applications in Bioanalysis and Chemical Biology. J Org Chem 79:9914-9921

Jak uvidět DNA?

DNA je ve viditelném světle bezbarvá



Báze DNA absorbují
ultrafialové světlo

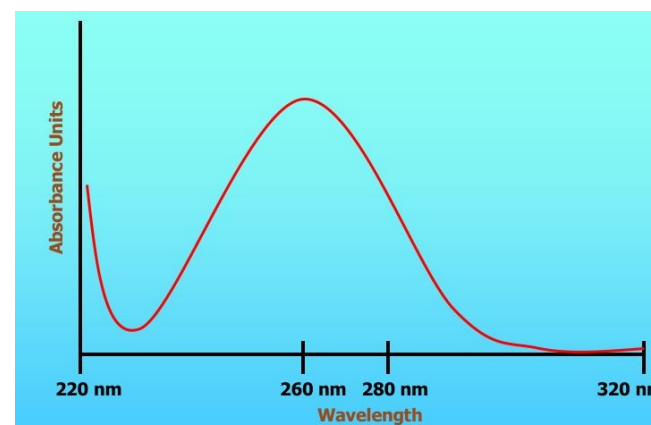
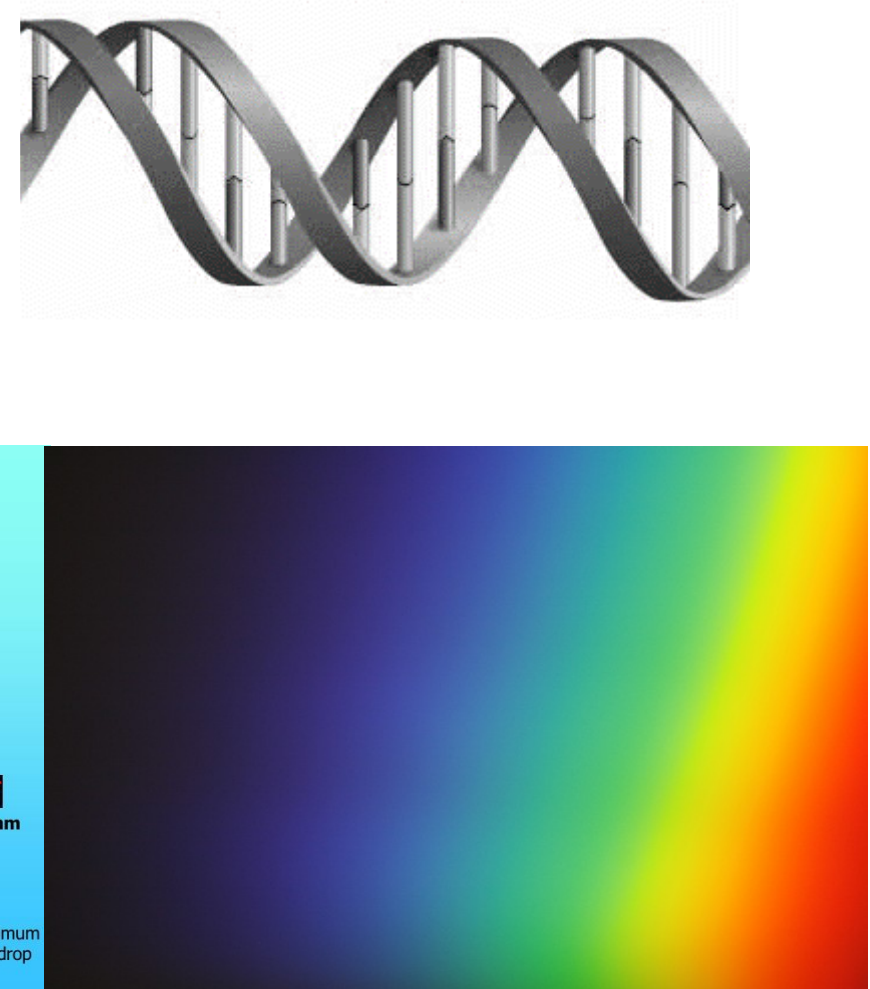


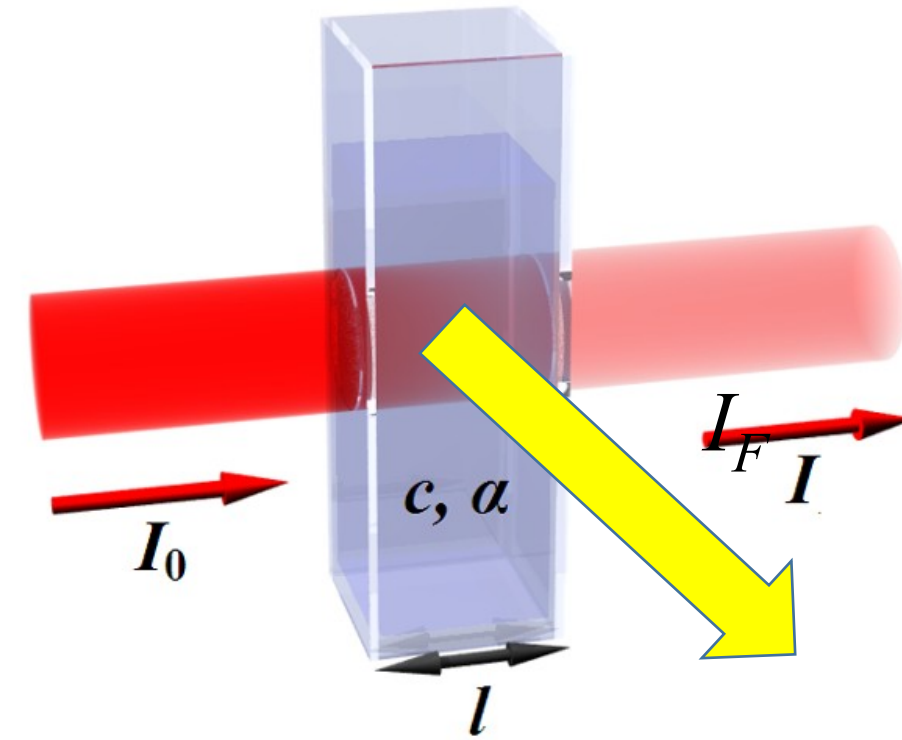
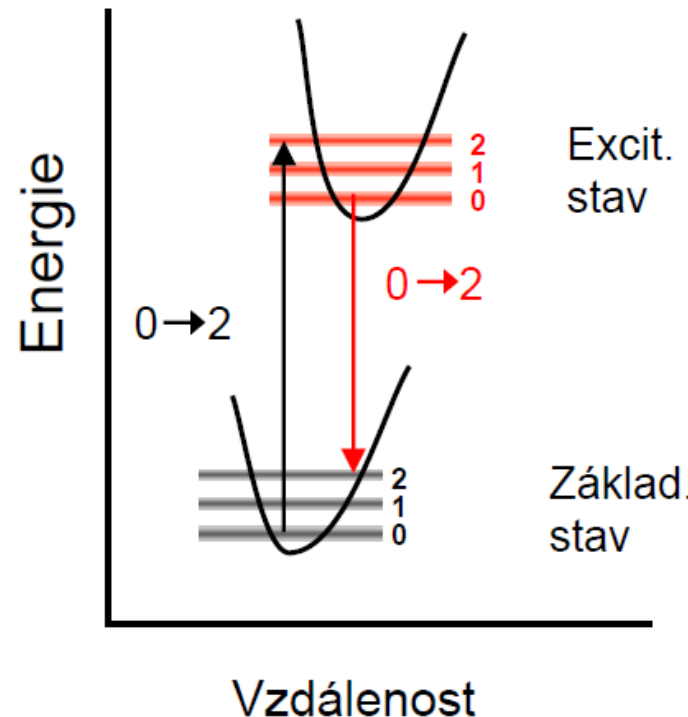
Figure 1: Spectrophotometric Scan Profile for Purified Plasmid DNA

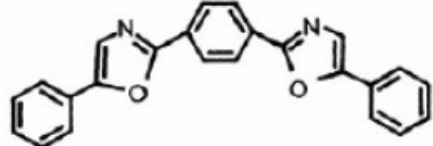
Purified DNA typically produces a Gaussian or bell-shaped profile with the maximum peak absorbing at 260 nm. Absorbance at 220 nm increases with a significant drop between the 220 nm and 260 nm peak. This sample is relatively pure DNA.



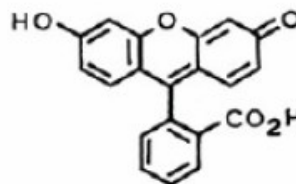
Můžeme si pomocí fluorescencí?

Fluorofory absorbují fotony UV nebo viditelného záření a poté je zase emitují (obvykle s nižší energií)

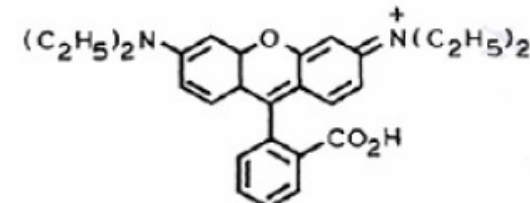




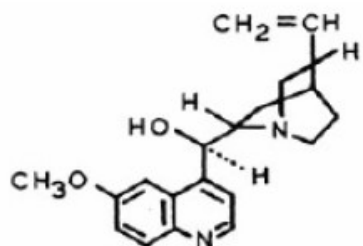
POPOP



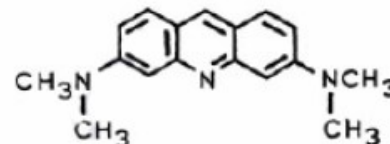
Fluorescein



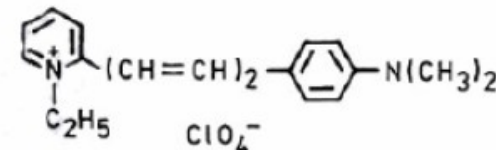
Rhodamine B



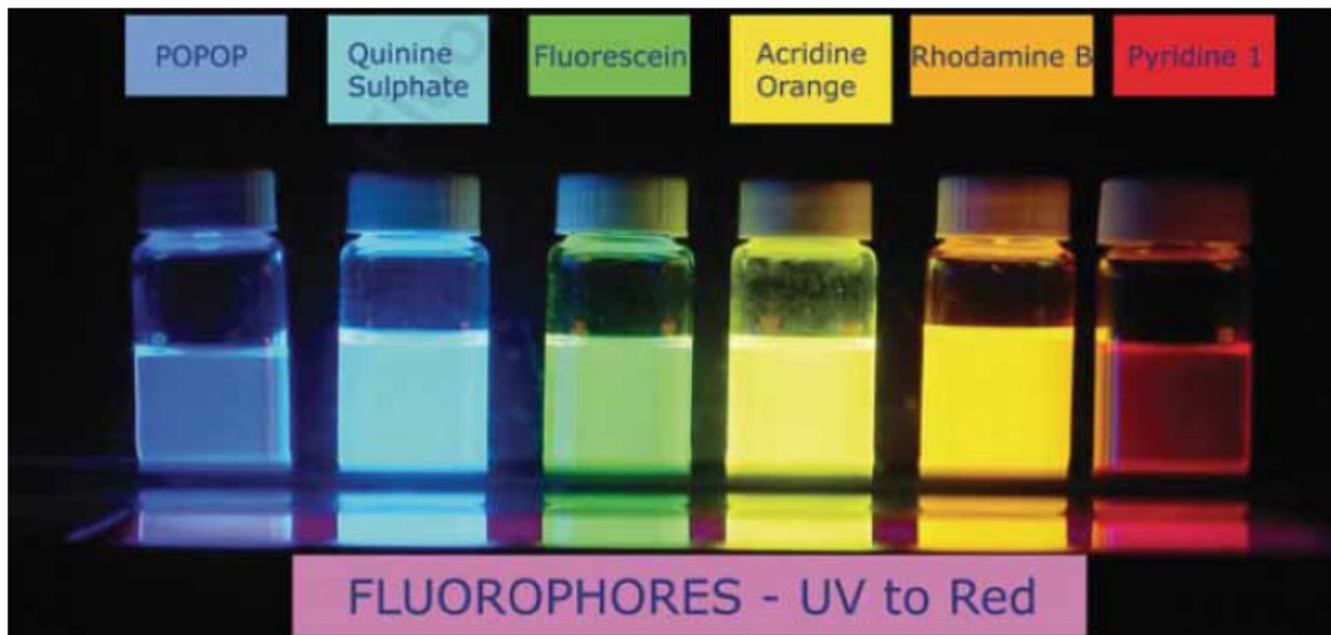
Quinine



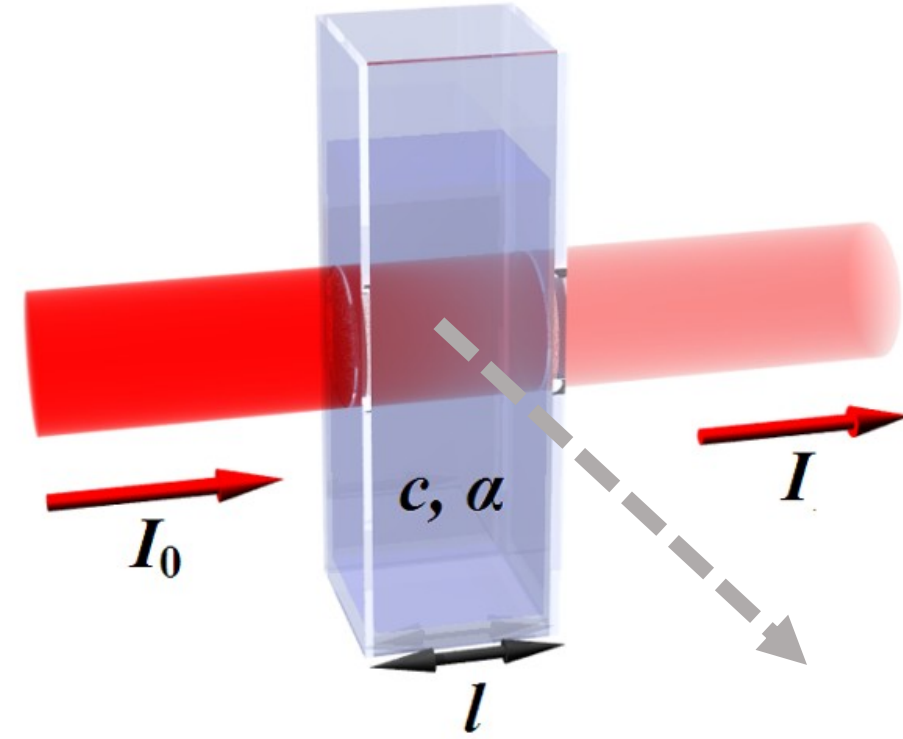
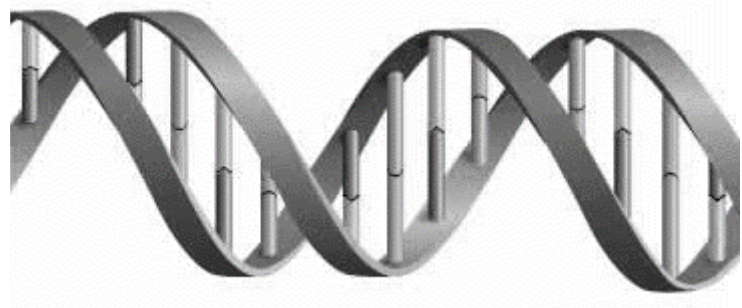
Acridine Orange



Pyridine 1



DNA nijak zajímavě nefluoreskuje...



...ale fluoreskují některé látky, když se na DNA navážou!

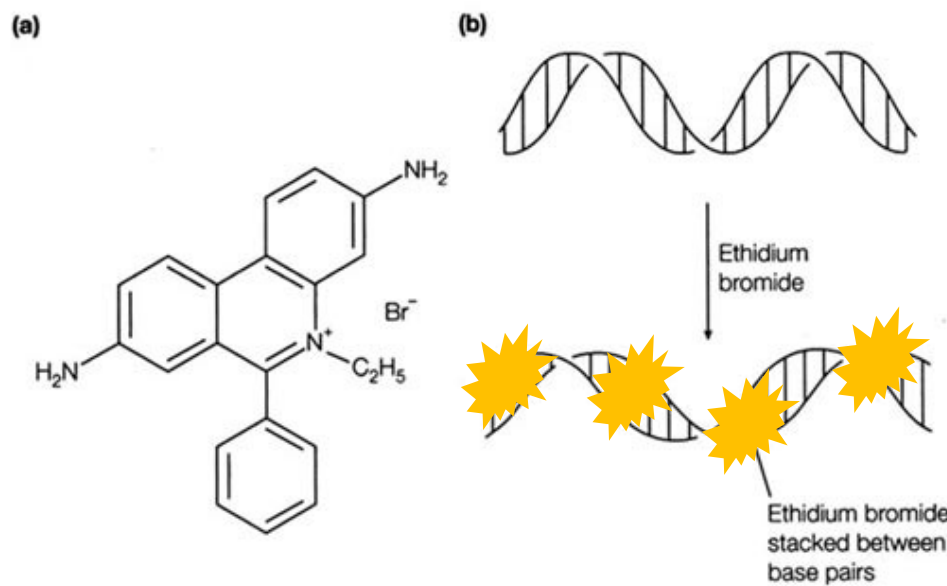
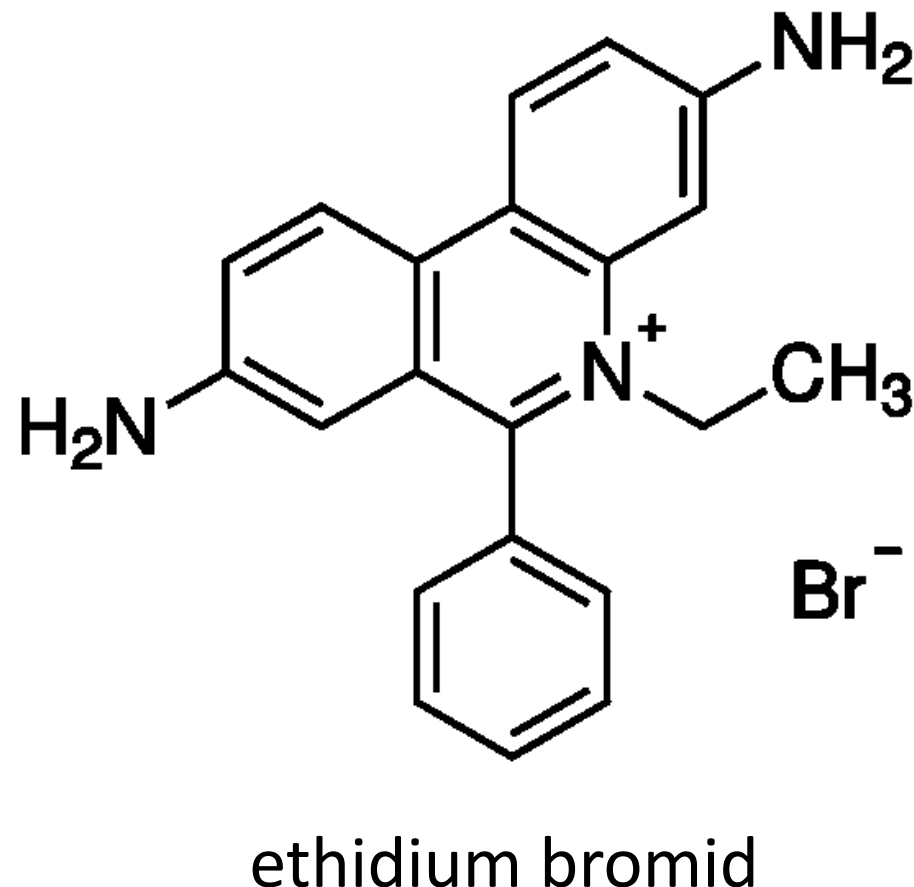
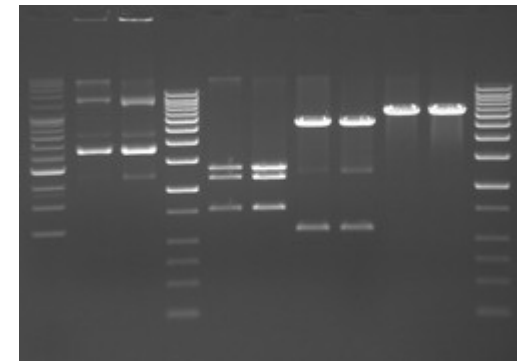
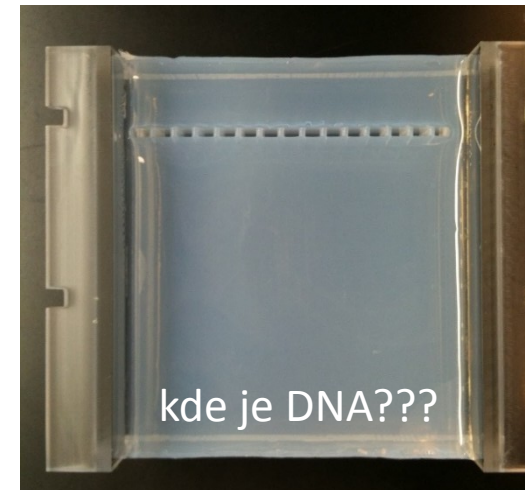
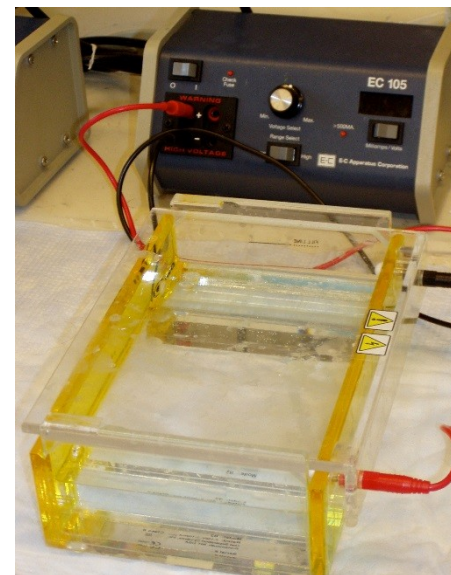
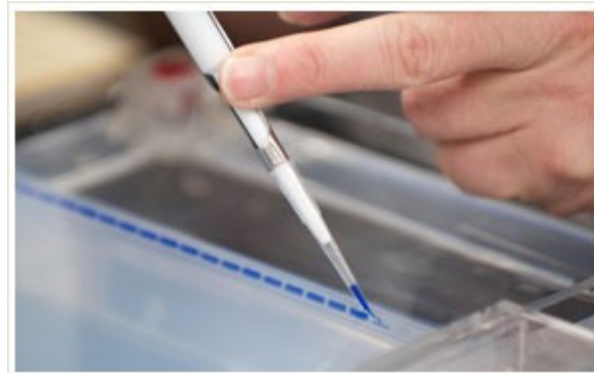


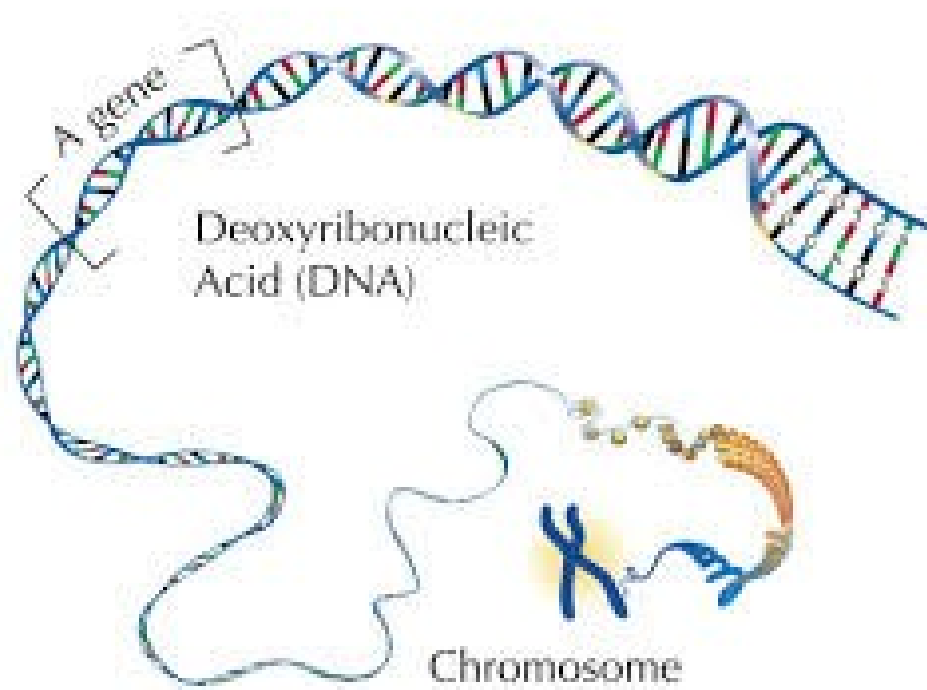
Fig. 3. (a) Ethidium bromide; (b) the process of intercalation, illustrating the lengthening and untwisting of the DNA helix.

Elektroforéza DNA v agarázovém gelu: třídění molekul DNA podle velikosti



Je možné vidět gen?

- Gen je (ne zcela přesně řečeno) úsek DNA kódující protein
- několik stovek párů bází z několika miliard (v lidkém genomu)

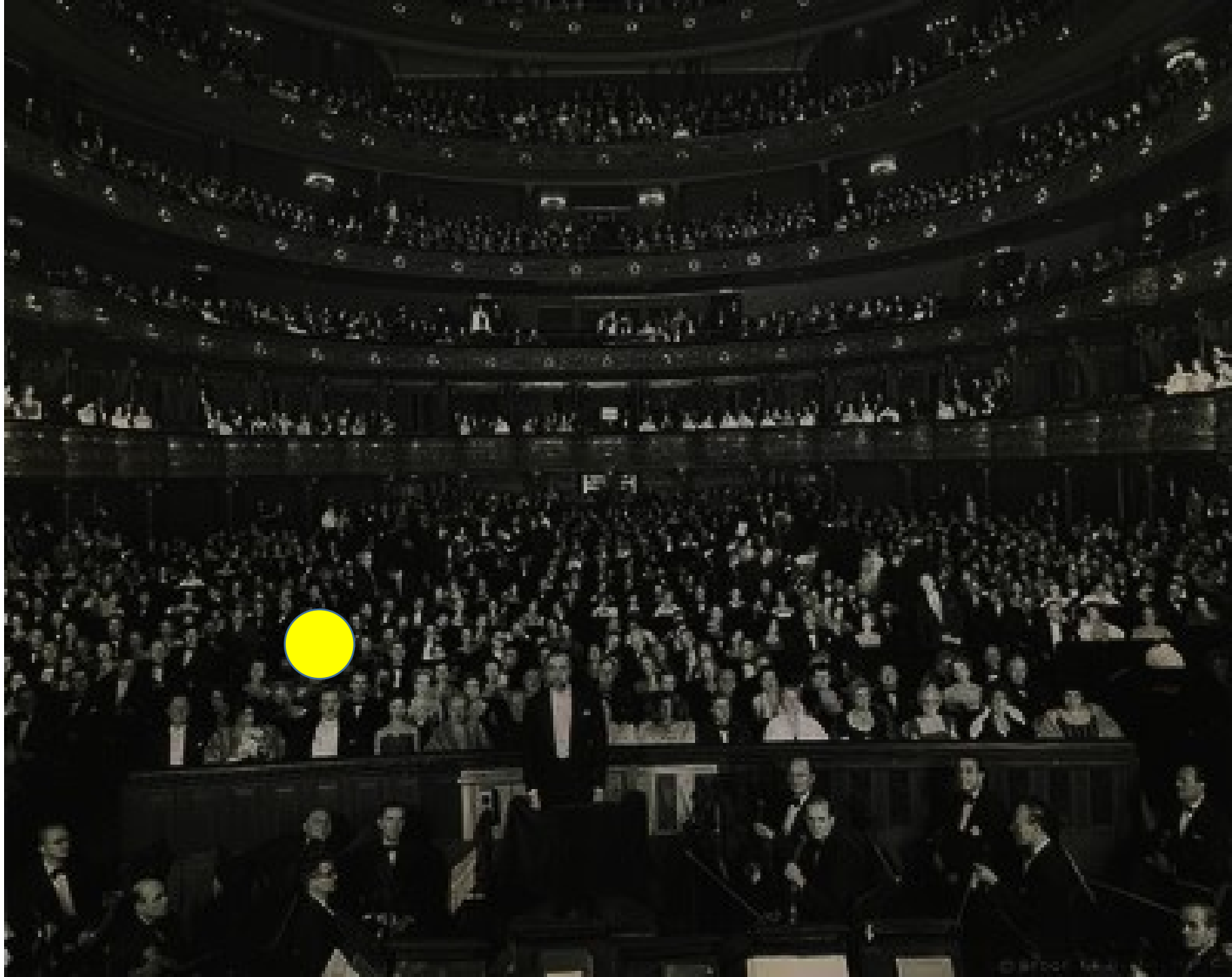








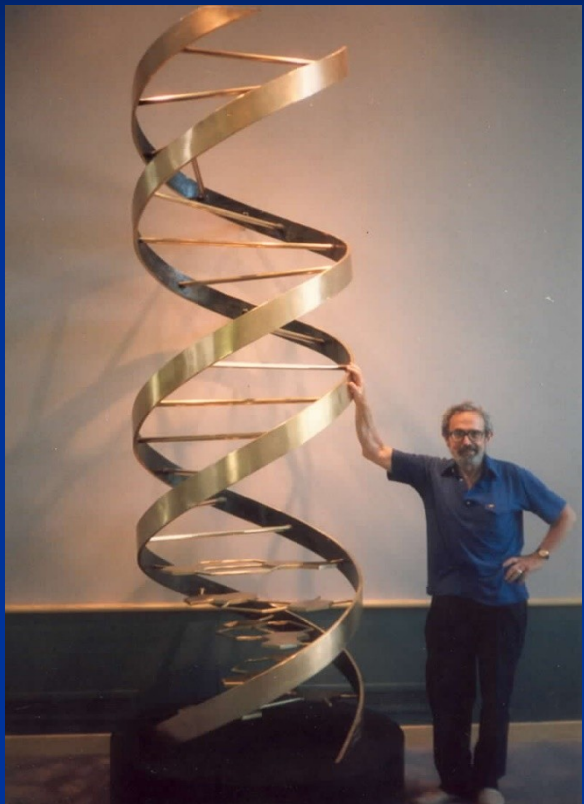




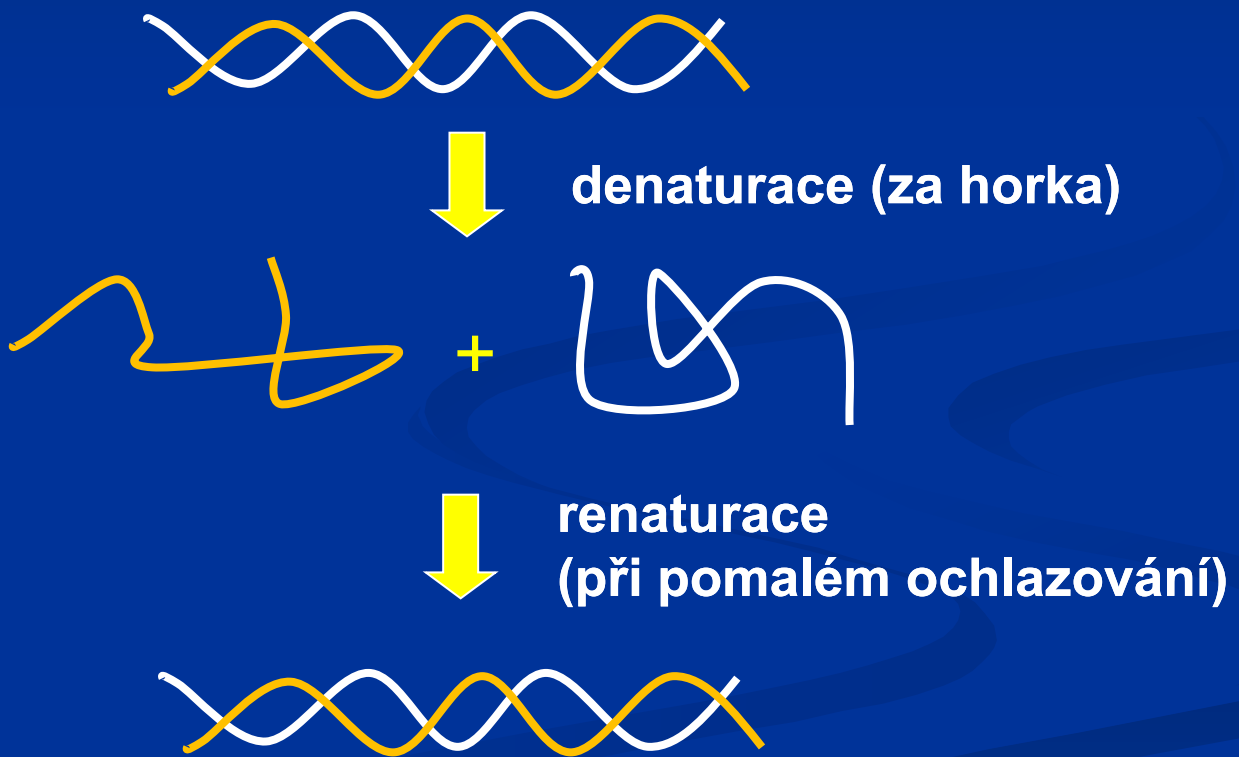


GAGGTTGTGAGGC_GC_TGCCCCCACCATGAGCGCTGCTCAGATAGCGATGGTCTGGCCCCTCCTCAG
CATCTTATCCGAGT_GGAAGGAAATGAGGTTGTGAGGC_GC_TGCCCCCACCATGAGCGCTGCTCAGAT
AGCGATGGTCTGGCCCCTCCTCAGCATCTTATCCGAGT_GGAAGGAAATGAGGTTGTGAGGC_GC_TG
CCCCACCACATGAGCGCTGCTCAGATAGCGATGGTCTGGCCCCTCCTCAGCATCTTATCCGAGT_GGA
GGAAATGAGGTTGTGAGGC_GC_TGCCCCCACCATGAGCGCTGCTCAGATAGCGATGGTCTGGCCC
CCTCAGCATCTTATCCGAGT_GGAAGGAAATGAGGTTGTGAGGC_GC_TGCCCCCACCACATGAGCGCTG
TCAGATAGCGATGGTCTGGCCCCTCCTCAGCATCTTATCCGAGT_GGAAGGAAATGAGGTTGTGAGG
CGCTGCCCCCACCACATGAGCGCTGCTCAGATAGCGATGGTCTGGCCCCTCCTCAGCATCTTATCCGA
GT_GGAAGGAAATGAGGTTGTGAGGC_GC_TGCCCCCACCATGAGCGCTGCTCAGATAGCGATGGTCTG
GCCCTCCTCAGCATCTTATCCGAGT_GGAAGGAAATAGGTTGTGAGGC_GC_TGCCCCCACCACATGAGC
GCTGCTCAGATAGCGATGGTCTGGCCCCTCCTCAGCATCTTATCCGAGT_GGAAGGAAATGAGGTTG
TGAGGC_GC_TGCCCCCACCACATGAGCGCTGCTCAGATAGCGATGGTCTGGCCCCTCCTCAGCATCTTA
TCCGAGT_GGAAGGAAATGAGGTTGTGAGGC_GC_TGCCCCCACCATGAGCGCTGCTCAGATAGCGATG
GTCTGGCCCCTCCTCAGCATCTTATCCGAGT_GGAAGGAAATGAGGTTGTGAGGC_GC_TGCCCCCACC
ATGAGCGCTGCTCAGATAGCGATGGTCTGGCCCCTCCTCAGCATCTTATCCGAGT_GGAAGGAAATG
AGGTTGTGAGGC_GC_TGCCCCCACCACATGAGCGCTGCTCAGATAGCGATGGTCTGGCCCCTCCTCAGC
ATCTTATCCGAGT_GGAAGGAAATGAGGTTGTGAGGC_GC_TGCCCCCACCACATGAGCGCTGCTCAGATA
GCGATGGTCTGGCCCCTCCTCAGCATCTTATCCGAGT_GGAAGGAAATGAGGTTGTGAGGC_GC_TG
CCCCACCACATGAGCGCTGCTCAGATAGCGATGGTCTGGCCCCTCCTCAGCATCTTATCCGAGT_GGAAG
GAAAT

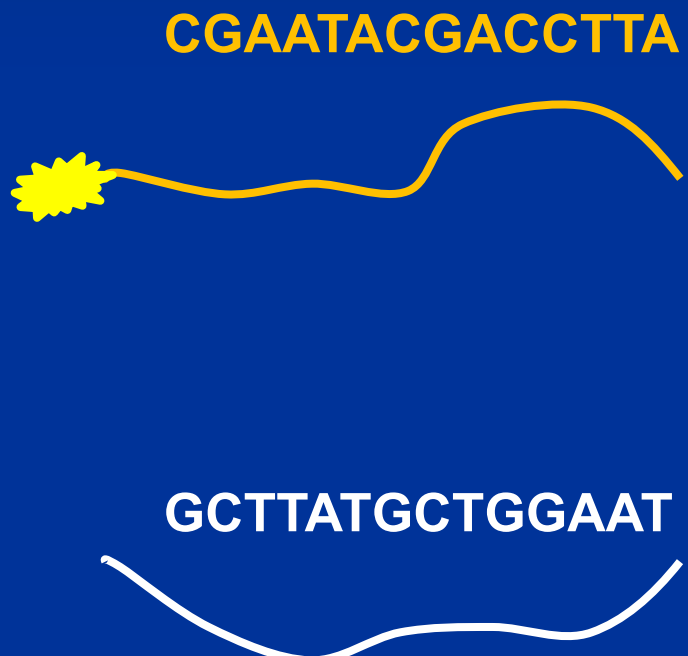
GAGGTTGTGAGGC_GC_TGCCCCCACCATGAGCGCTGCTCAGATAGCGATGGTCTGGCCCCTCCTCAG
CATCTTATCCGAGT_GGAAGGAAATGAGGTTGTGAGGC_GC_TGCCCCCACCATGAGCGCTGCTCAGAT
AGCGATGGTCTGGCCCCTCCTCAGCATCTTATCCGAGT_GGAAGGAAATGAGGTTGTGAGGC_GC_TG
CCCCACCACATGAGCGCTGCTCAGATAGCGATGGTCTGGCCCCTCCTCAGCATCTTATCCGAGT_GGA
GGAAATGAGGTTGTGAGGC_GC_TGCCCCCACCATGAGCGCTGCTCAGATAGCGATGGTCTGGCCC
CCTCAGCATCTTATCCGAGT_GGAAGGAAATGAGGTTGTGAGGC_GC_TGCCCCCACCACATGAGCGCTG
TCAGATAGCGATGGTCTGGCCCCTCCTCAGCATCTTATCCGAGT_GGAAGGAAATGAGGTTGTGAGG
CGCTGCCCCCACCA**TGAGCGCTGCTCAGATAGCGATGGTCTGGCCCCTCCTCAGCATC**TTATCCGA
GTGGAAGGAAATGAGGTTGTGAGGC_GC_TGCCCCCACCATGAGCGCTGCTCAGATAGCGATGGTCTG
GCCCTCCTCAGCATCTTATCCGAGT_GGAAGGAAATAGGTTGTGAGGC_GC_TGCCCCCACCACATGAGC
GCTGCTCAGATAGCGATGGTCTGGCCCCTCCTCAGCATCTTATCCGAGT_GGAAGGAAATGAGGTTG
TGAGGC_GC_TGCCCCCACCATGAGCGCTGCTCAGATAGCGATGGTCTGGCCCCTCCTCAGCATCTTA
TCCGAGT_GGAAGGAAATGAGGTTGTGAGGC_GC_TGCCCCCACCATGAGCGCTGCTCAGATAGCGATG
GTCTGGCCCCTCCTCAGCATCTTATCCGAGT_GGAAGGAAATGAGGTTGTGAGGC_GC_TGCCCCCACC
ATGAGCGCTGCTCAGATAGCGATGGTCTGGCCCCTCCTCAGCATCTTATCCGAGT_GGAAGGAAATG
AGGTTGTGAGGC_GC_TGCCCCCACCATGAGCGCTGCTCAGATAGCGATGGTCTGGCCCCTCCTCAGC
ATCTTATCCGAGT_GGAAGGAAATGAGGTTGTGAGGC_GC_TGCCCCCACCATGAGCGCTGCTCAGATA
GCGATGGTCTGGCCCCTCCTCAGCATCTTATCCGAGT_GGAAGGAAATGAGGTTGTGAGGC_GC_TG
CCCACCACATGAGCGCTGCTCAGATAGCGATGGTCTGGCCCCTCCTCAGCATCTTATCCGAGT_GGAAG
GAAAT



1963 Julius Marmur: renaturace DNA



Hybridizace DNA (RNA): tvorba dvoušroubovice z řetězce sondy and komplementárního cílového řetězce



hybridizační sonda

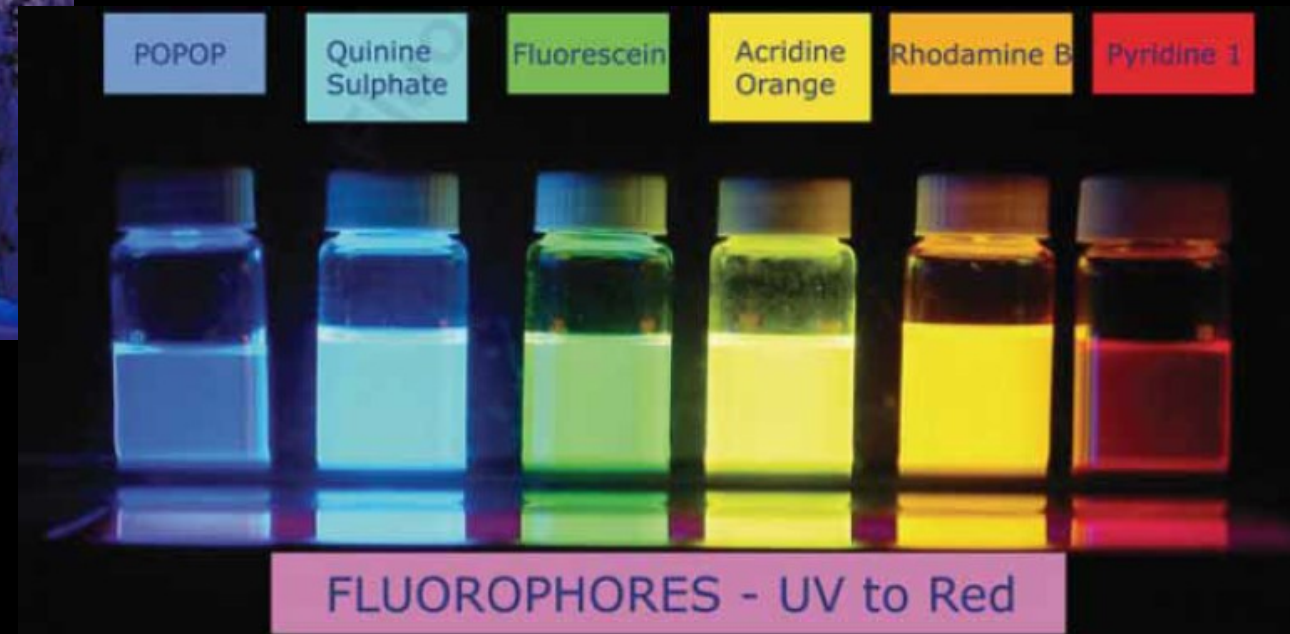
- známá sekvence navržená (syntetizovaná) tak, aby se párovala s cílovou DNA, která nás zajímá
- může být značená



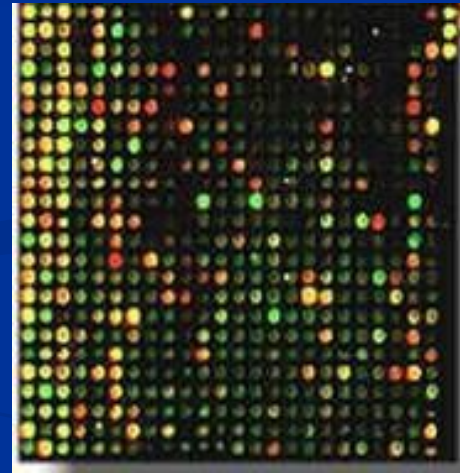
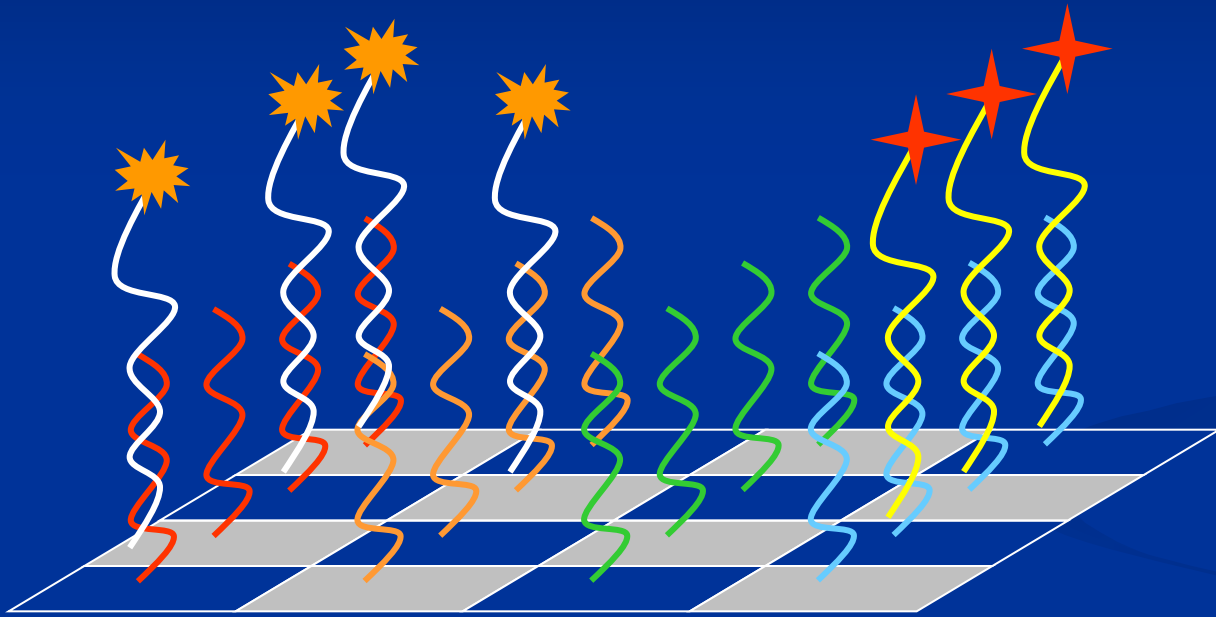
target DNA

- detekovaná pomocí hybridizační sondy

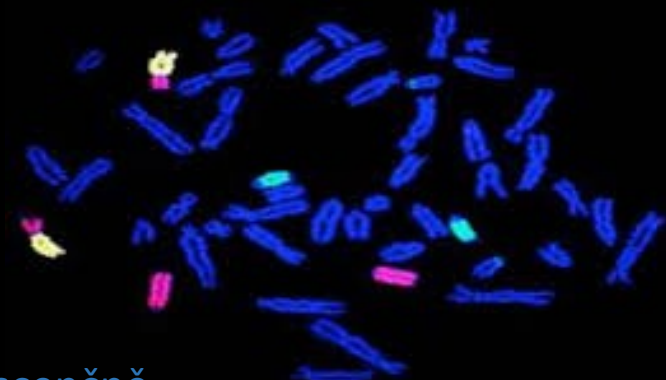
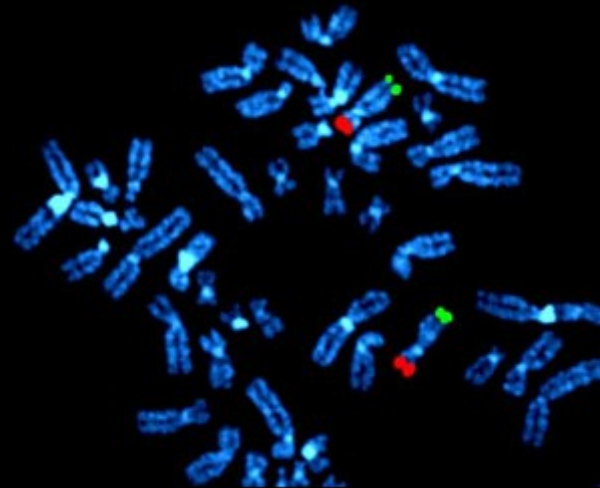
Vícebarevné značení?



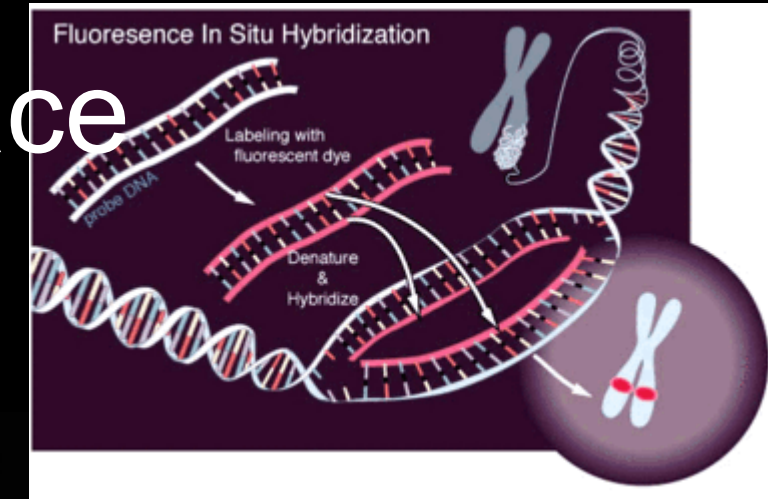
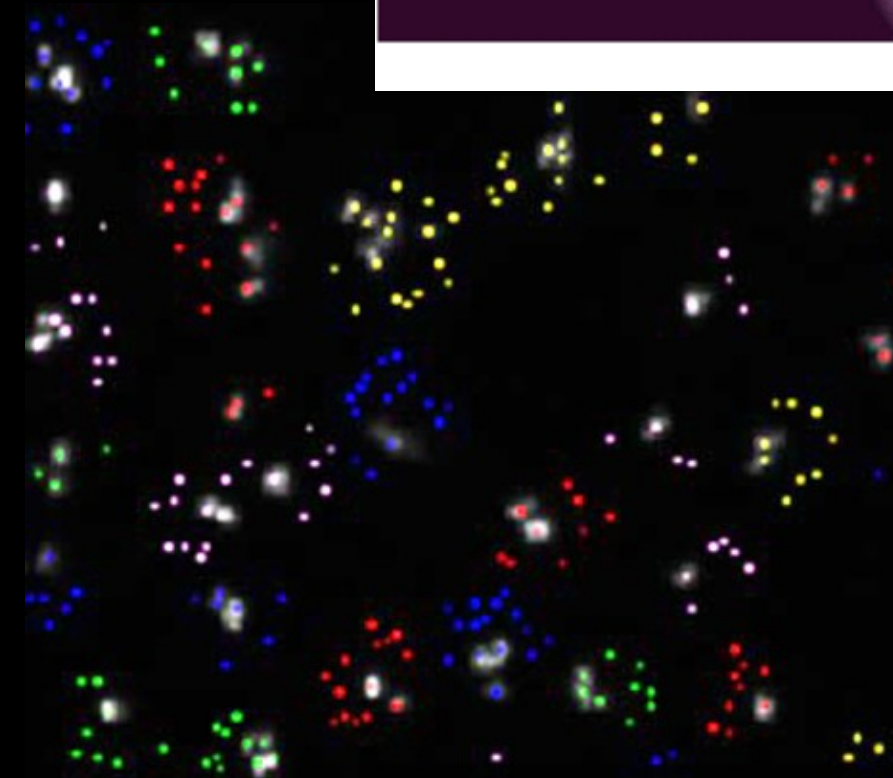
Genové čipy



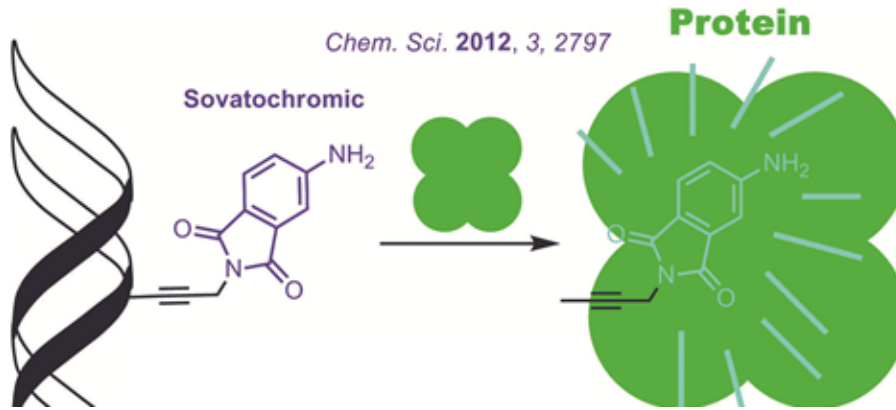
Fluorescenční in-situ hybridizace



Modrá barva: fluorescenčně „obarvená“ celková DNA



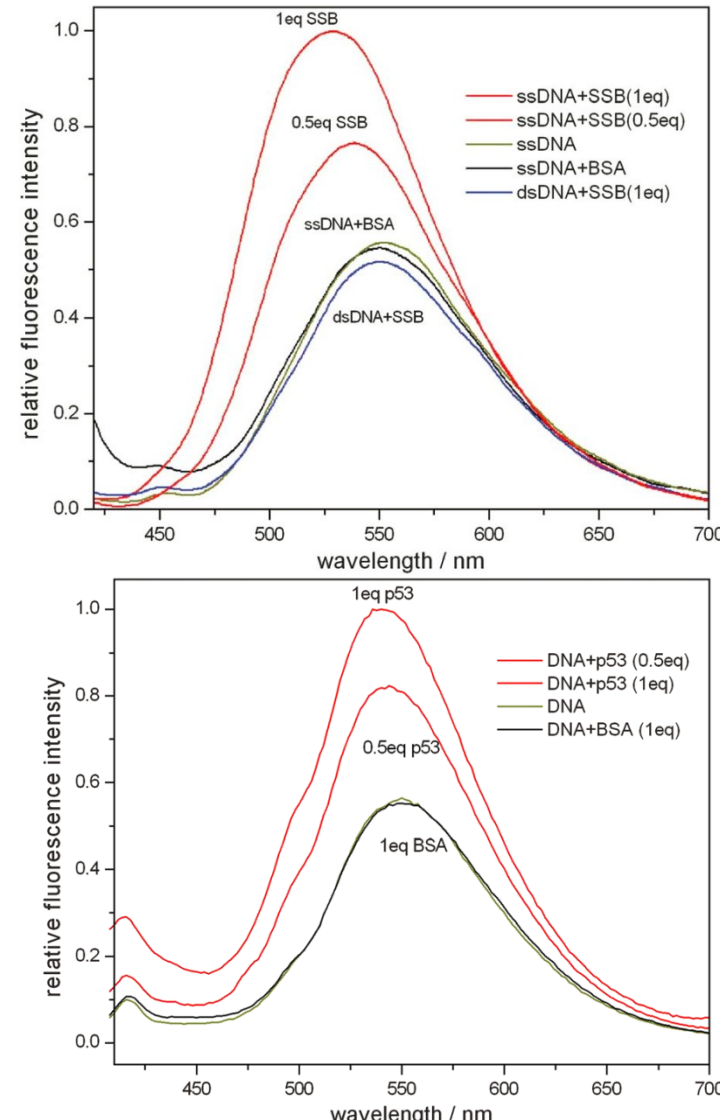
Proteiny rozsvěcují světýlka na DNA



Chem. Sci. 2012, 3, 2797

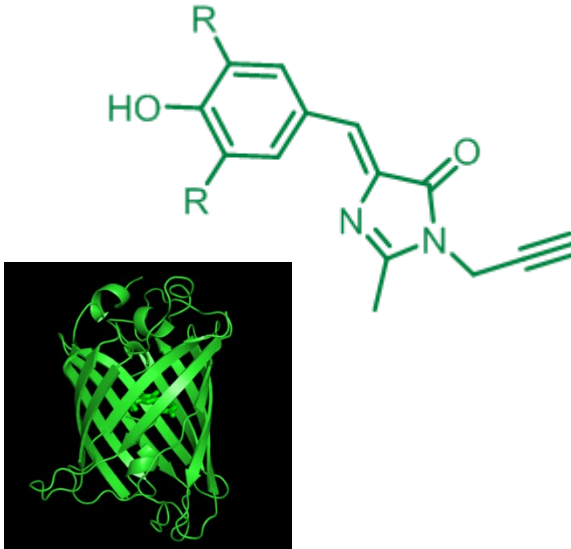
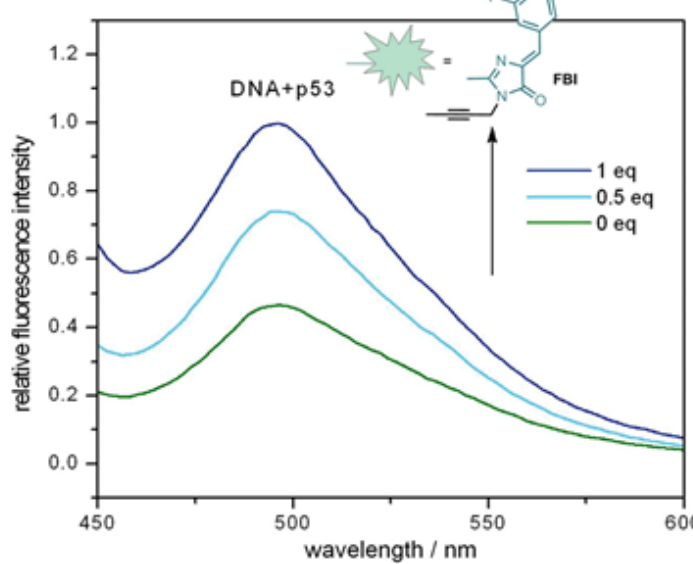
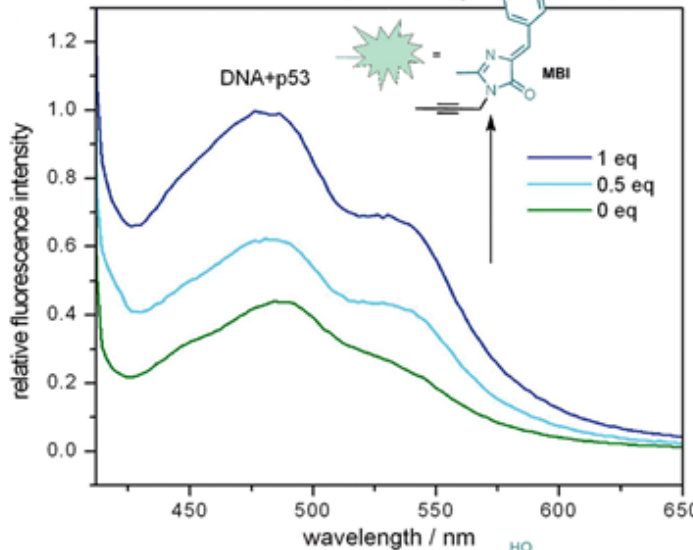
- některé fluorofory špatně „svítí“ ve vodě, ale dobře v nevodném prostředí
- navázaný protein vodu vytěsní a fluorescence se zesílí

Riedl J et al., Chem Sci 3, 2797 (2012).



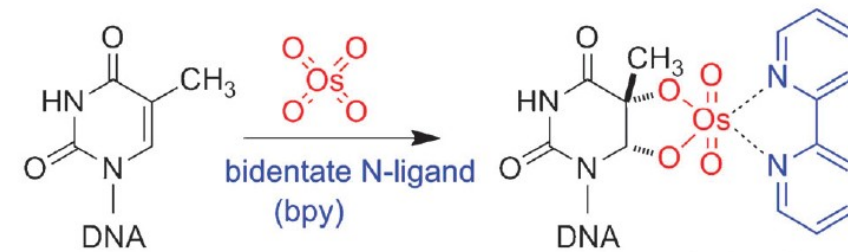
Světlo medúzy: zelený fluoreskující protein

(fluorofor svítí lépe, když nemůže rotovat: např. je-li uvězněn v proteinu)



Jak vánoční výzdobu DNA uskutečnit?

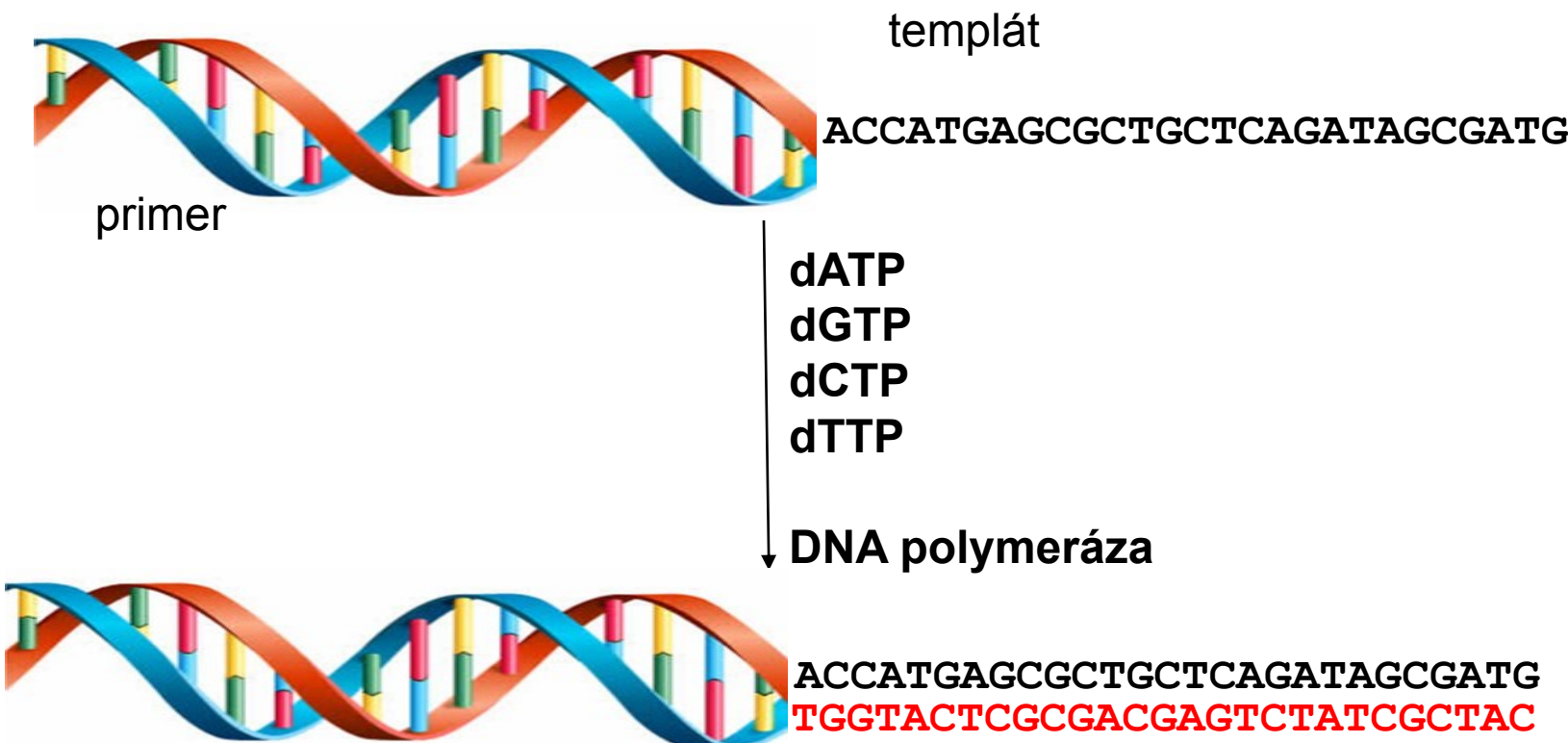
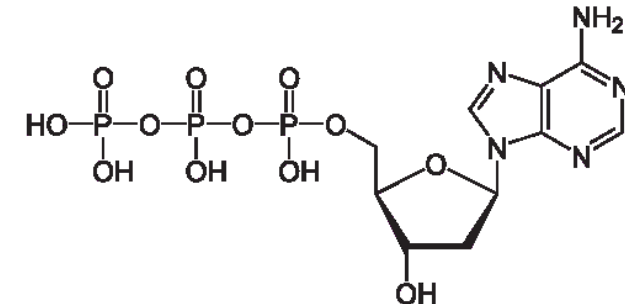
- můžeme si nechat chemicky vyrobit a koupit značenou DNA (drahé, a koho baví umělé stromečky?)
- obyčejnou DNA můžeme značit pomocí chemických reakcí



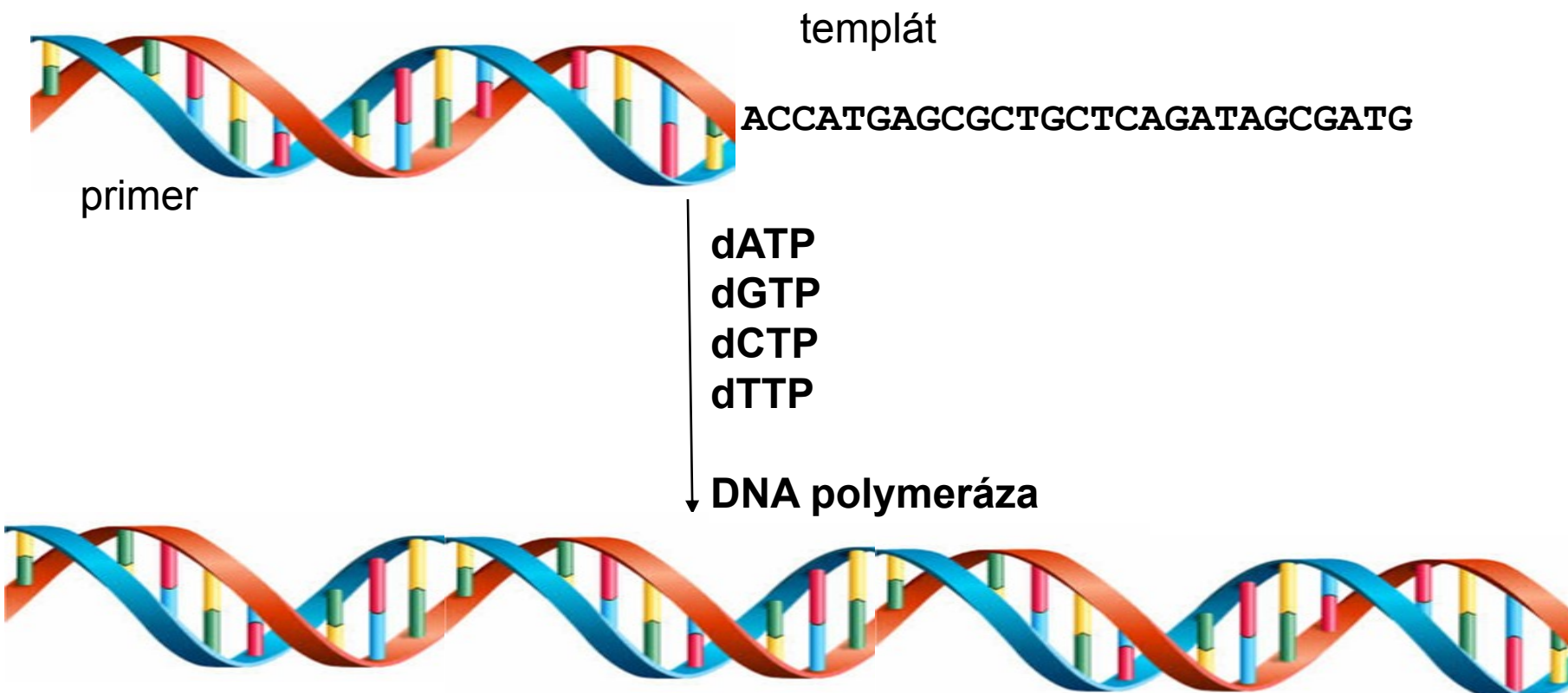
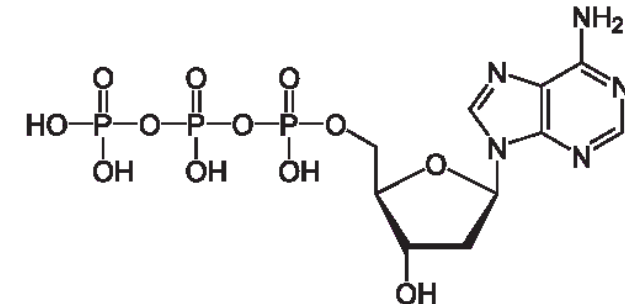
- DNA můžeme poskládat pomocí enzymů přímo ze značených stavebních kamenů

Značení DNA pomocí enzymů a
modifikovaných stavebních kamenů
– deoxynukleosid trifosfátů

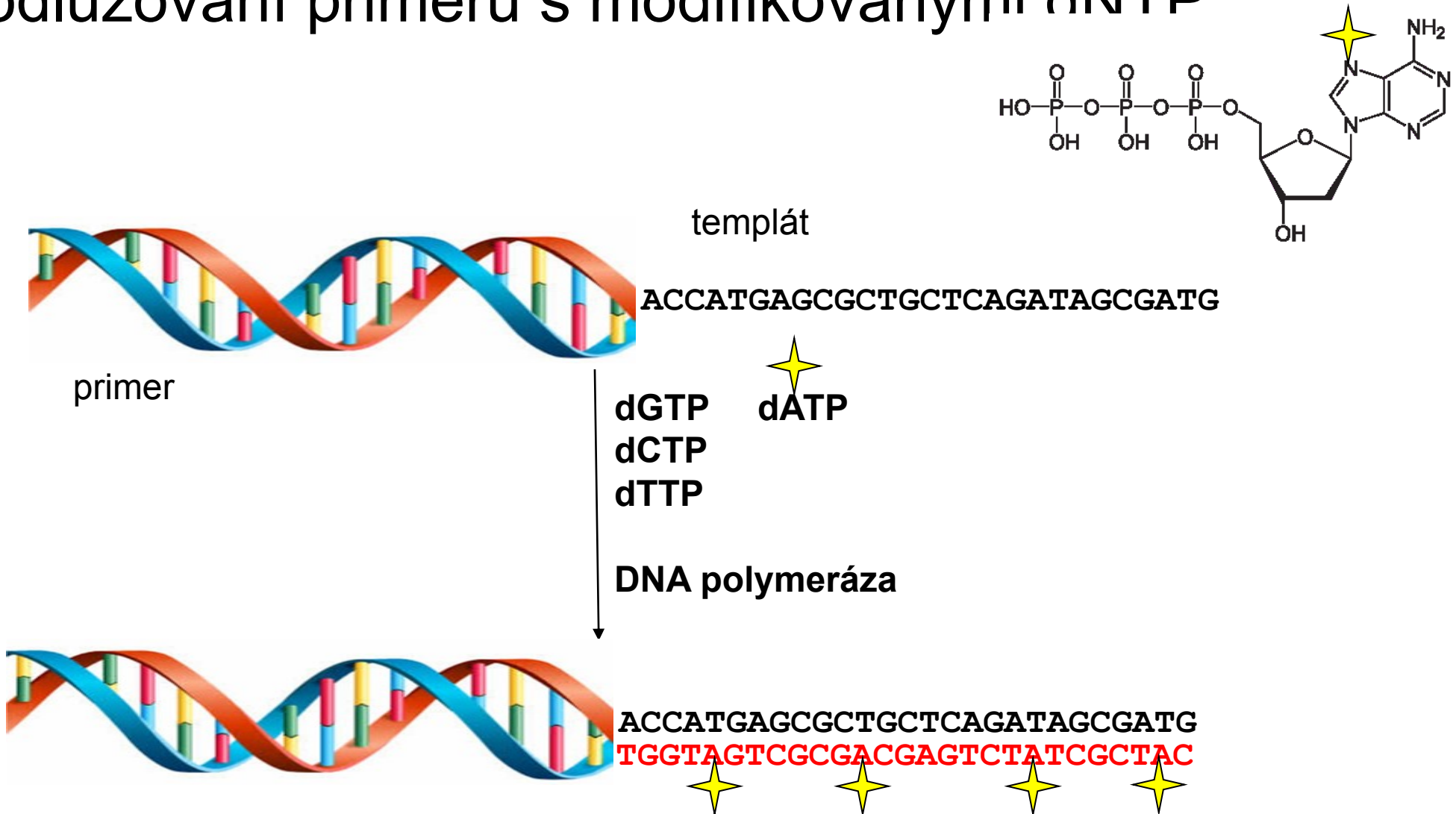
Prodlužování primeru (podstata replikace DNA)



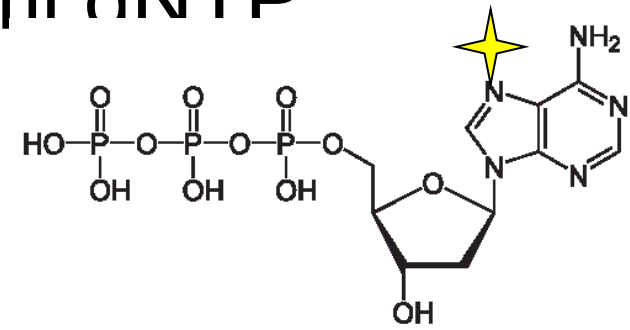
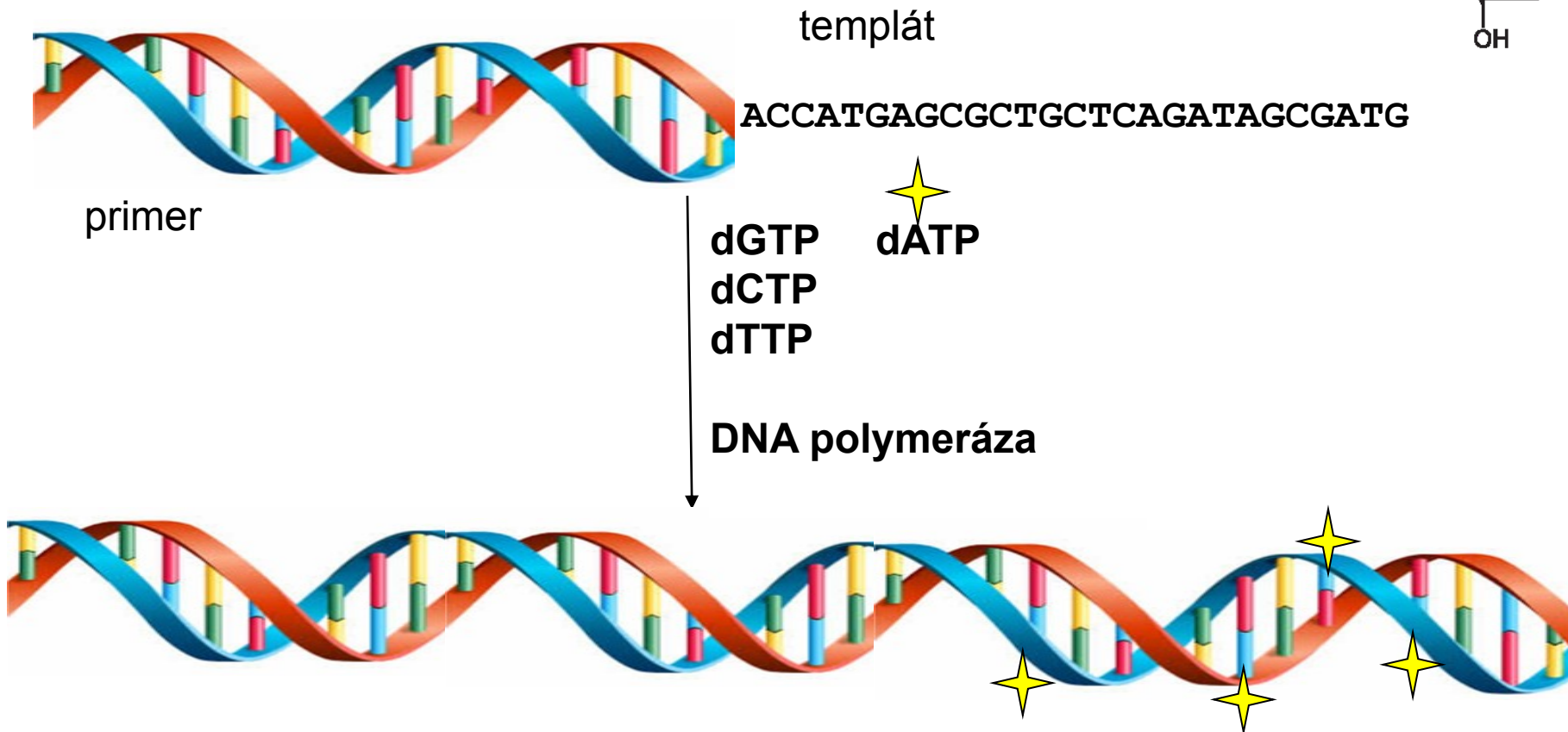
Prodlužování primeru (podstata replikace DNA)



Prodlužování primeru s modifikovanými dNTP



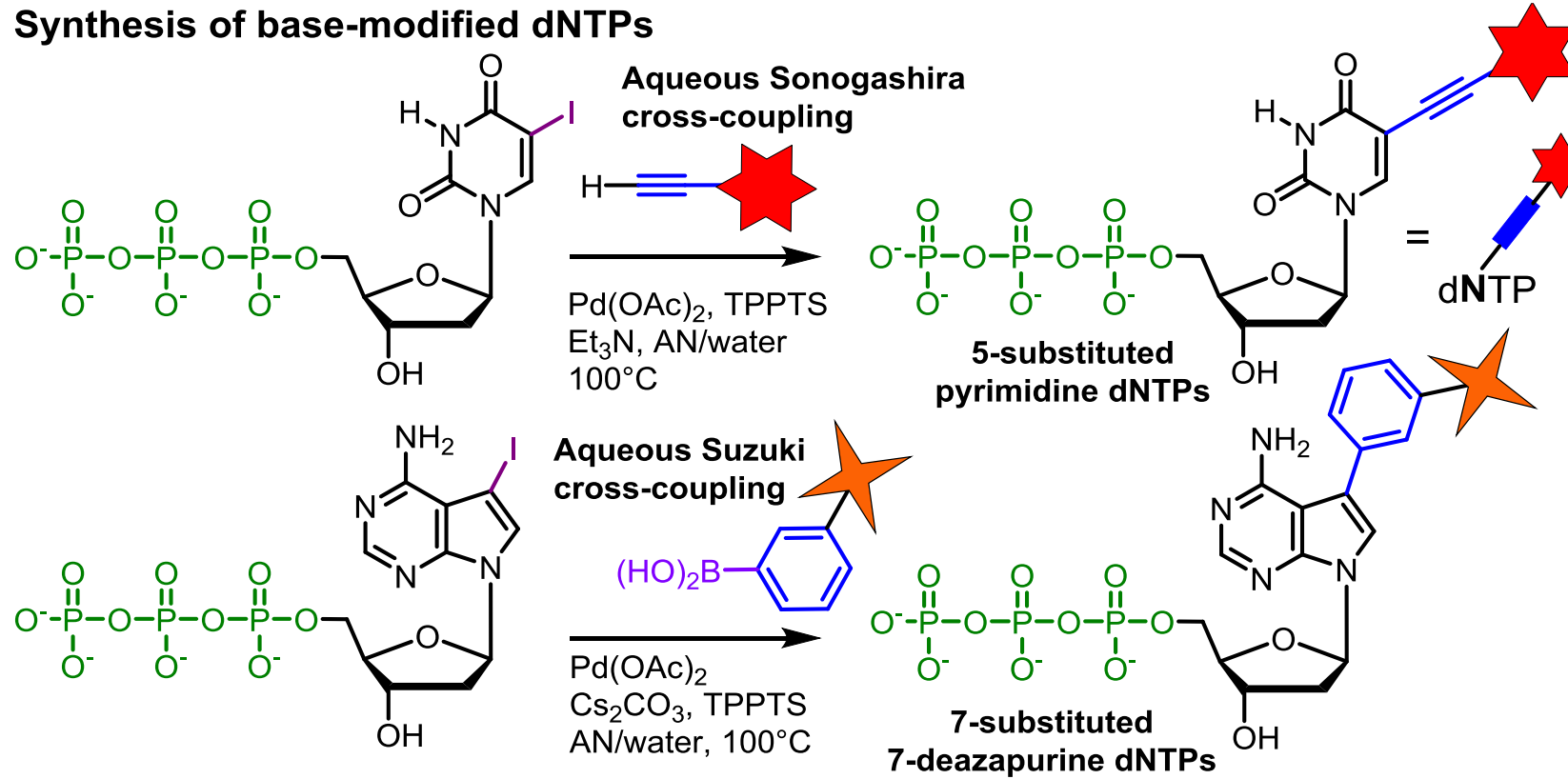
Prodlužování primeru s modifikovanými dNTP





skupina prof. Michala Hocka syntéza modifikovaných dNTP

Synthesis of base-modified dNTPs



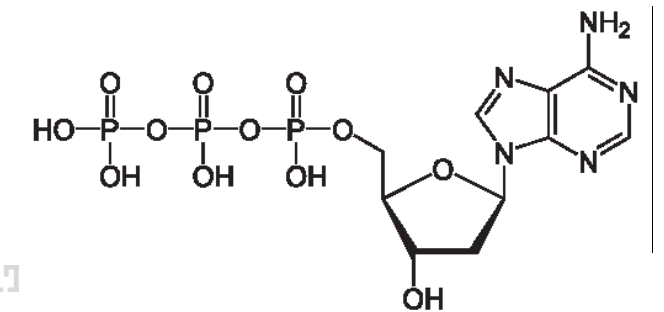
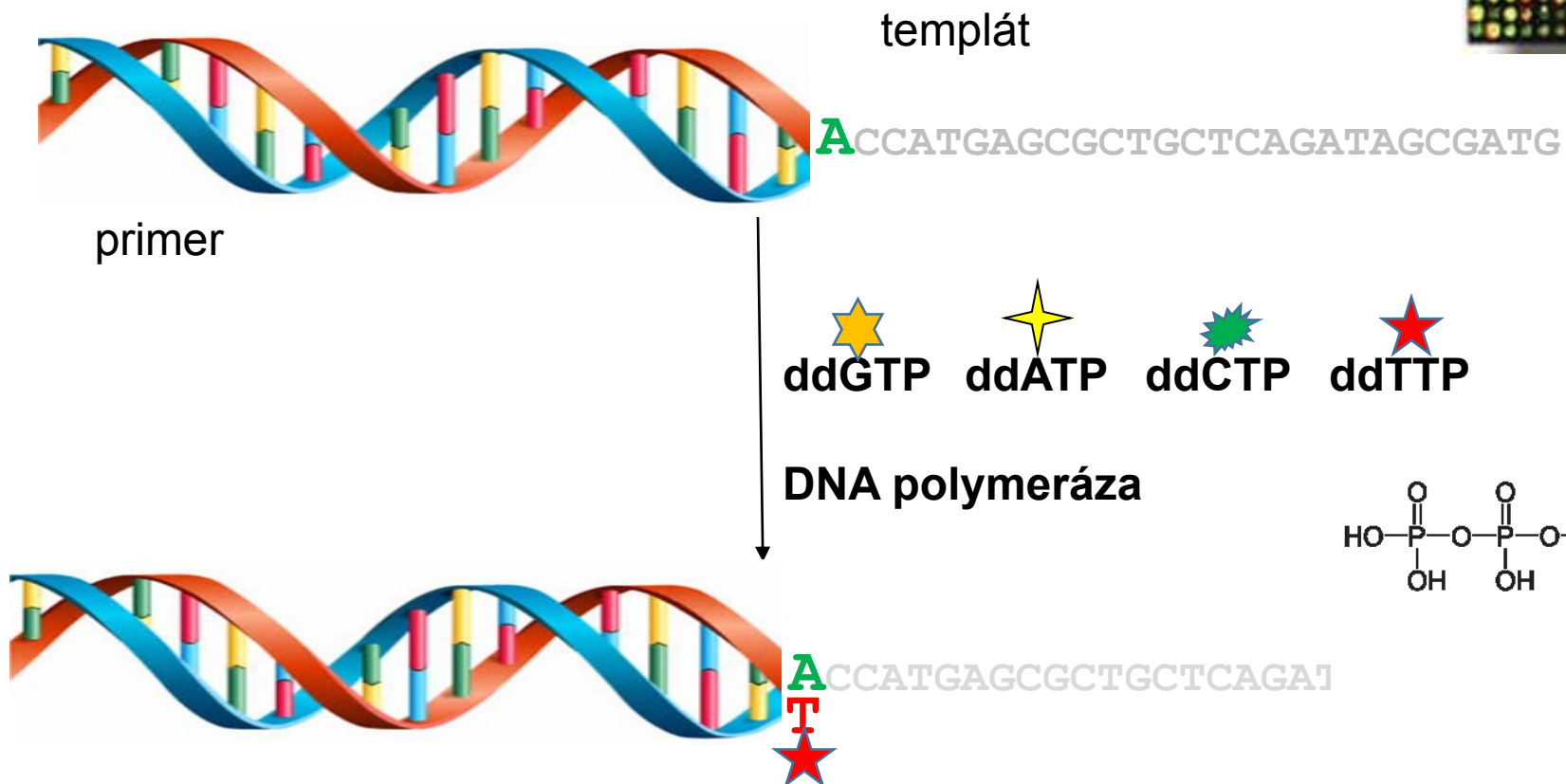
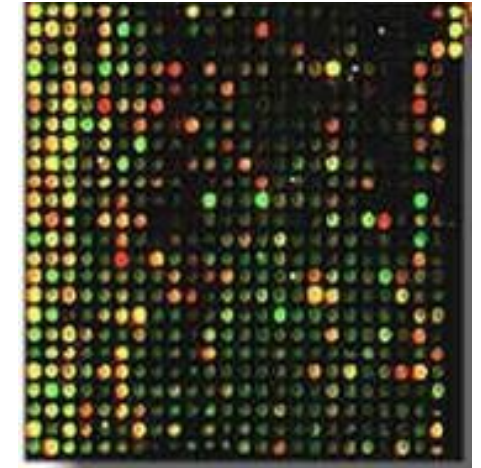
Můžeme vidět změnu jednoho
písmenka v DNA (bodovou
mutaci)?

GAGGTTGTGAGGC_GC_TGCCCCCACCATGAGCGCTGCTCAGATAGCGATGGTCTGGCCCCTCCTCAG
CATCTTATCCGAGT_GGAAGGAAATGAGGTTGTGAGGC_GC_TGCCCCCACCATGAGCGCTGCTCAGAT
AGCGATGGTCTGGCCCCTCCTCAGCATCTTATCCGAGT_GGAAGGAAATGAGGTTGTGAGGC_GC_TGC
CCCCACCATGAGCGCTGCTCAGATAGCGATGGTCTGGCCCCTCCTCAGCATCTTATCCGAGT_GGA
GGAAATGAGGTTGTGAGGC_GC_TGC_GCCCCACCATGAGCGCTGCTCAGATAGCGATGGTCTGGCCCCT
CCTCAGCATCTTATCCGAGT_GGAAGGAAATGAGGTTGTGAGGC_GC_TGC_GCCCCACCATGAGCGCTGC
TCAGATAGCGATGGTCTGGCCCCTCCTCAGCATCTTATCCGAGT_GGAAGGAAATGAGGTTGTGAGG
CGCTGC_GCCCCACCATGAGCGCTGCTCAGATAGCGATGGTCTGGCCCCTCCTCAGCATCTTATCCGA
GT_GGAAGGAAATGAGGTTGTGAGGC_GC_TGC_GCCCCACCATGAGCGCTGCTCAGATAGCGATGGTCTG
GCCCTCCTCAGCATCTTATCCGAGT_GGAAGGAAATAGGTTGTGAGGC_GC_TGC_GCCCCACCATGAGC
GCTGCTCAGATAGCGATGGTCTGGCCCCTCCTCAGCATCTTATCCGAGT_GGAAGGAAATGAGGTTG
TGAGGC_GC_TGC_GCCCCACCATGAGCGCTGCTCAGATAGCGATGGTCTGGCCCCTCCTCAGCATCTTA
TCCGAGT_GGAAGGAAATGAGGTTGTGAGGC_GC_TGC_GCCCCACCATGAGCGCTGCTCAGATAGCGATG
GTCTGGCCCCTCCTCAGCATCTTATCCGAGT_GGAAGGAAATGAGGTTGTGAGGC_GC_TGC_GCCCCACC
ATGAGCGCTGCTCAGATAGCGATGGTCTGGCCCCTCCTCAGCATCTTATCCGAGT_GGAAGGAAATG
AGGTTGTGAGGC_GC_TGC_GCCCCACCATGAGCGCTGCTCAGATAGCGATGGTCTGGCCCCTCCTCAGC
ATCTTATCCGAGT_GGAAGGAAATGAGGTTGTGAGGC_GC_TGC_GCCCCACCATGAGCGCTGCTCAGATA
GCGATGGTCTGGCCCCTCCTCAGCATCTTATCCGAGT_GGAAGGAAATGAGGTTGTGAGGC_GC_TGC_G
CCCCACCATGAGCGCTGCTCAGATAGCGATGGTCTGGCCCCTCCTCAGCATCTTATCCGAGT_GGAAG
GAAAT

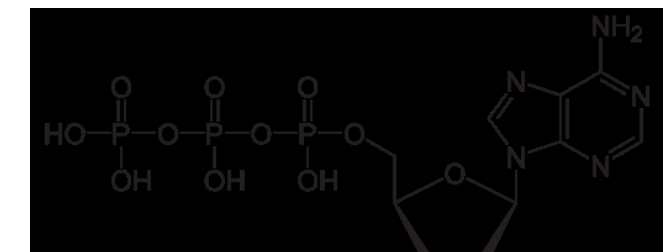
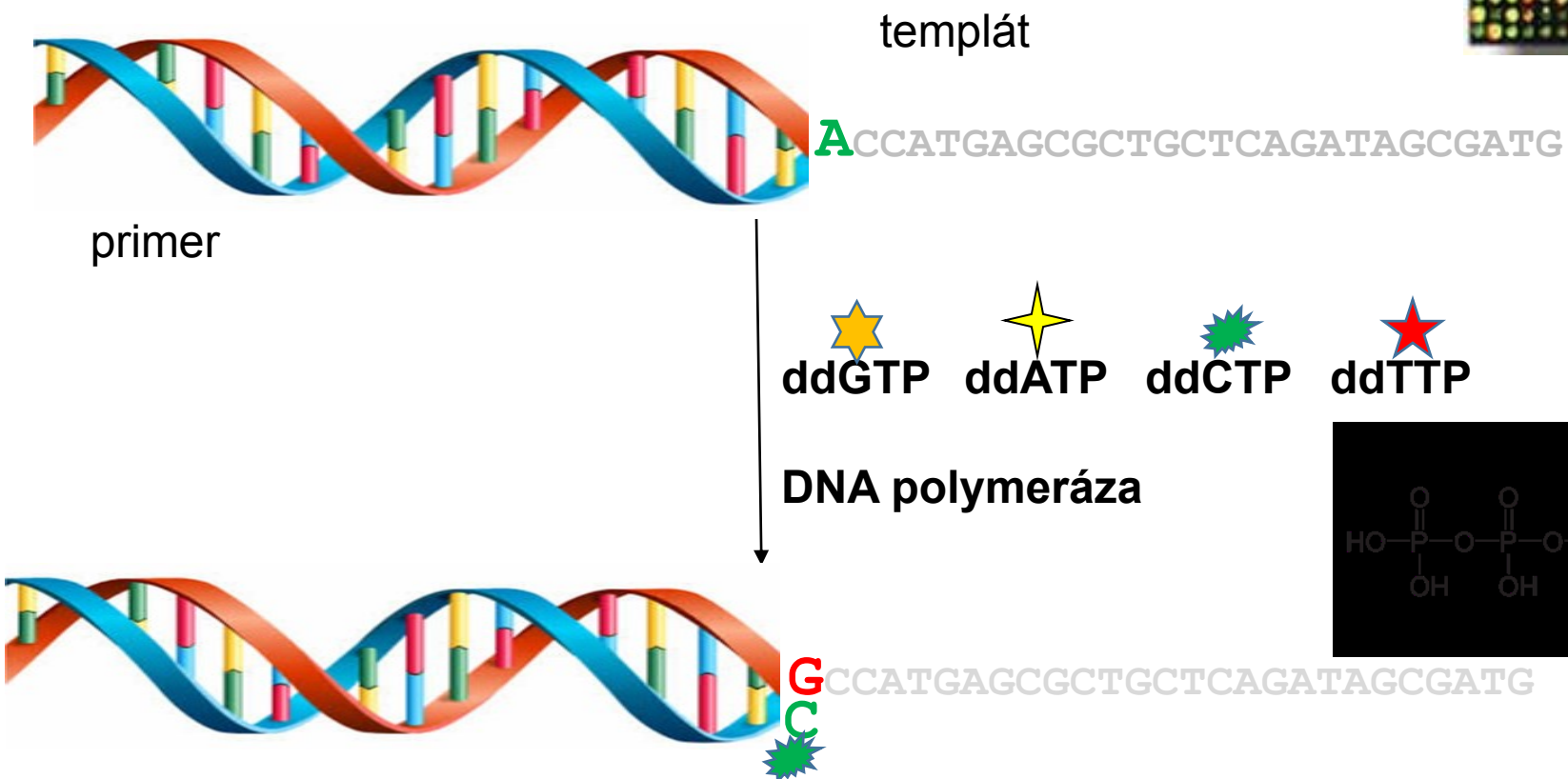
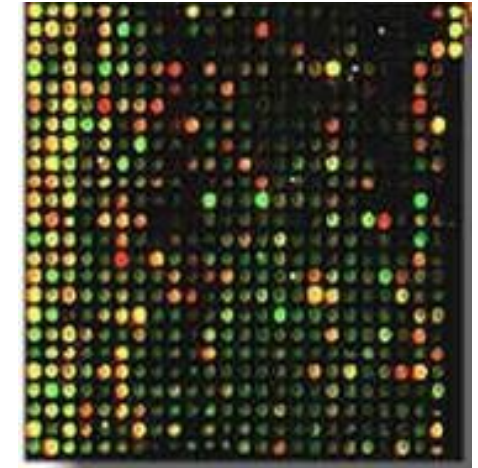
GAGGTTGTGAGGC_GC_TGCCCCCACCATGAGCGCTGCTCAGATAGCGATGGTCTGGCCCCTCCTCAG
CATCTTATCCGAGT_GGAAGGAAATGAGGTTGTGAGGC_GC_TGCCCCCACCATGAGCGCTGCTCAGAT
AGCGATGGTCTGGCCCCTCCTCAGCATCTTATCCGAGT_GGAAGGAAATGAGGTTGTGAGGC_GC_TG
CCCCACCACATGAGCGCTGCTCAGATAGCGATGGTCTGGCCCCTCCTCAGCATCTTATCCGAGT_GGA
GGAAATGAGGTTGTGAGGC_GC_TGCCCCCACCATGAGCGCTGCTCAGATAGCGATGGTCTGGCCC
CCTCAGCATCTTATCCGAGT_GGAAGGAAATGAGGTTGTGAGGC_GC_TGCCCCCACCACATGAGCGCTG
TCAGATAGCGATGGTCTGGCCCCTCCTCAGCATCTTATCCGAGT_GGAAGGAAATGAGGTTGTGAGG
CGCTGCCCCCACCACATGAGCGCTGCTCAGATAGCGATGGTCTGGCCCCTCCTCAGCATCTTATCCGA
GT_GGAAGGAAATGAGGTTGTGAGGC_GC_TGCCCCCACCATGAGCGCTGCTCAGATAGCGATGGTCTG
GCCCTCCTCAGCATCTTATCCGAGT_GGAAGGAAATAGCTTGAGGC_GC_TGCCCCCACCACATGAGC
GCTGCTCAGATAGCGATGGTCTGGCCCCTCCTCAGCATCTTATCCGAGT_GGAAGGAAATGAGGTTG
TGAGGC_GC_TGCCCCCACCACATGAGCGCTGCTCAGATAGCGATGGTCTGGCCCCTCCTCAGCATCTTA
TCCGAGT_GGAAGGAAATGAGGTTGTGAGGC_GC_TGCCCCCACCATGAGCGCTGCTCAGATAGCGATG
GTCTGGCCCCTCCTCAGCATCTTATCCGAGT_GGAAGGAAATGAGGTTGTGAGGC_GC_TGCCCCCACC
ATGAGCGCTGCTCAGATAGCGATGGTCTGGCCCCTCCTCAGCATCTTATCCGAGT_GGAAGGAAATG
AGGTTGTGAGGC_GC_TGCCCCCACCACATGAGCGCTGCTCAGATAGCGATGGTCTGGCCCCTCCTCAGC
ATCTTATCCGAGT_GGAAGGAAATGAGGTTGTGAGGC_GC_TGCCCCCACCACATGAGCGCTGCTCAGATA
GCGATGGTCTGGCCCCTCCTCAGCATCTTATCCGAGT_GGAAGGAAATGAGGTTGTGAGGC_GC_TG
CCCACCACATGAGCGCTGCTCAGATAGCGATGGTCTGGCCCCTCCTCAGCATCTTATCCGAGT_GGAAG
GAAAT

GAGGTTGTGAGGC^GC^TGCCCCCACCATGAGCGCTGCTCAGATAGCGATGGTCTGGCCC^CT^CTCAG
CATCTTATCCGAGT^GGAAGGAAATGAGGTTGTGAGGC^GC^TGCCCCCACCATGAGCGCTGCTCAGAT
AGCGATGGTCTGGCCC^CT^CTCAGCATCTTATCCGAGT^GGAAGGAAATGAGGTTGTGAGGC^GC^TGC
CCCCACC^ACATGAGCGCTGCTCAGATAGCGATGGTCTGGCCC^CT^CTCAGCATCTTATCCGAGT^GGA
GGAAATGAGGTTGTGAGGC^GC^TGC^GCCCCACC^ATGAGCGCTGCTCAGATAGCGATGGTCTGGCCC^C
C^TTCAGCATCTTATCCGAGT^GGAAGGAAATGAGGTTGTGAGGC^GC^TGC^GCCCCACC^ATGAGCGCTG^C
TCAGATAGCGATGGTCTGGCCC^CT^CTCAGCATCTTATCCGAGT^GGAAGGAAATGAGGTTGTGAGG
CGCTGC^GCCCCACC^ATGAGCGCTGCTCAGATAGCGATGGTCTGGCCC^CT^CTCAGCATCTTATCCGA
GT^GGAAGGAAATGAGGTTGTGAGGC^GC^TGC^GCCCCACC^ATGAGCGCTGCTCAGATAGCGATGGTCTG
GCC^CCT^CTCAGCATCTTATCCGAGT^GGAAGGAAATAG^{TT}GTGAGGC^GC^TGC^GCCCCACC^ATGAGC
GCTGCTCAGATAGCGATGGTCTGGCCC^CT^CTCAGCATCTTATCCGAGT^GGAAGGAAATGAGGTTG
TGAGGC^GC^TGC^GCCCCACC^ATGAGCGCTGCTCAGATAGCGATGGTCTGGCCC^CT^CTCAGCATCTTA
TCCGAGT^GGAAGGAAATGAGGTTGTGAGGC^GC^TGC^GCCCCACC^ATGAGCGCTGCTCAGATAGCGATG
GTCTGGCCC^CT^CTCAGCATCTTATCCGAGT^GGAAGGAAATGAGGTTGTGAGGC^GC^TGC^GCCCCACC
ATGAGCGCTGCTCAGATAGCGATGGTCTGGCCC^CT^CTCAGCATCTTATCCGAGT^GGAAGGAAATG
AGGTTGTGAGGC^GC^TGC^GCCCCACC^ATGAGCGCTGCTCAGATAGCGATGGTCTGGCCC^CT^CTCAGC
ATCTTATCCGAGT^GGAAGGAAATGAGGTTGTGAGGC^GC^TGC^GCCCCACC^ATGAGCGCTGCTCAGATA
GCGATGGTCTGGCCC^CT^CTCAGCATCTTATCCGAGT^GGAAGGAAATGAGGTTGTGAGGC^GC^TGC^GCCCC
CCCCACC^ATGAGCGCTGCTCAGATAGCGATGGTCTGGCCC^CT^CTCAGCATCTTATCCGAGT^GGAAG
GAAAT

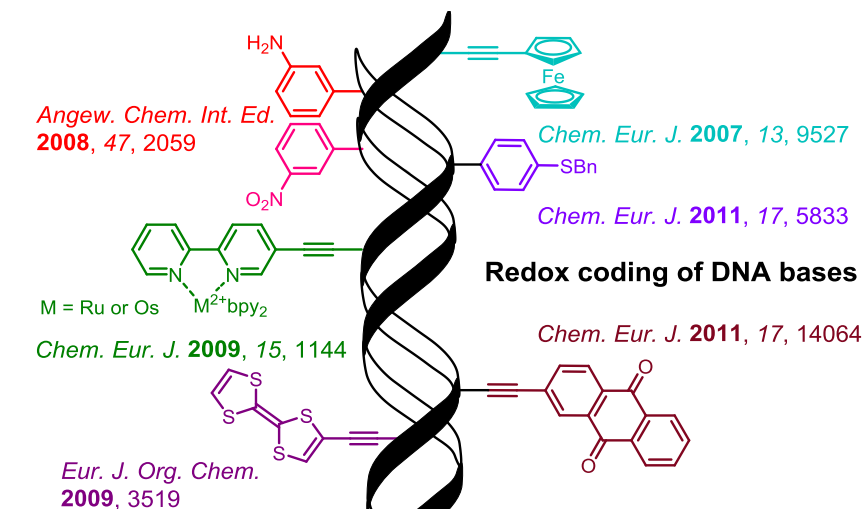
Detekce mutací



Detekce mutací



Místo světýlek elektrické proudy?



Elektrochemické metody ... polarografie

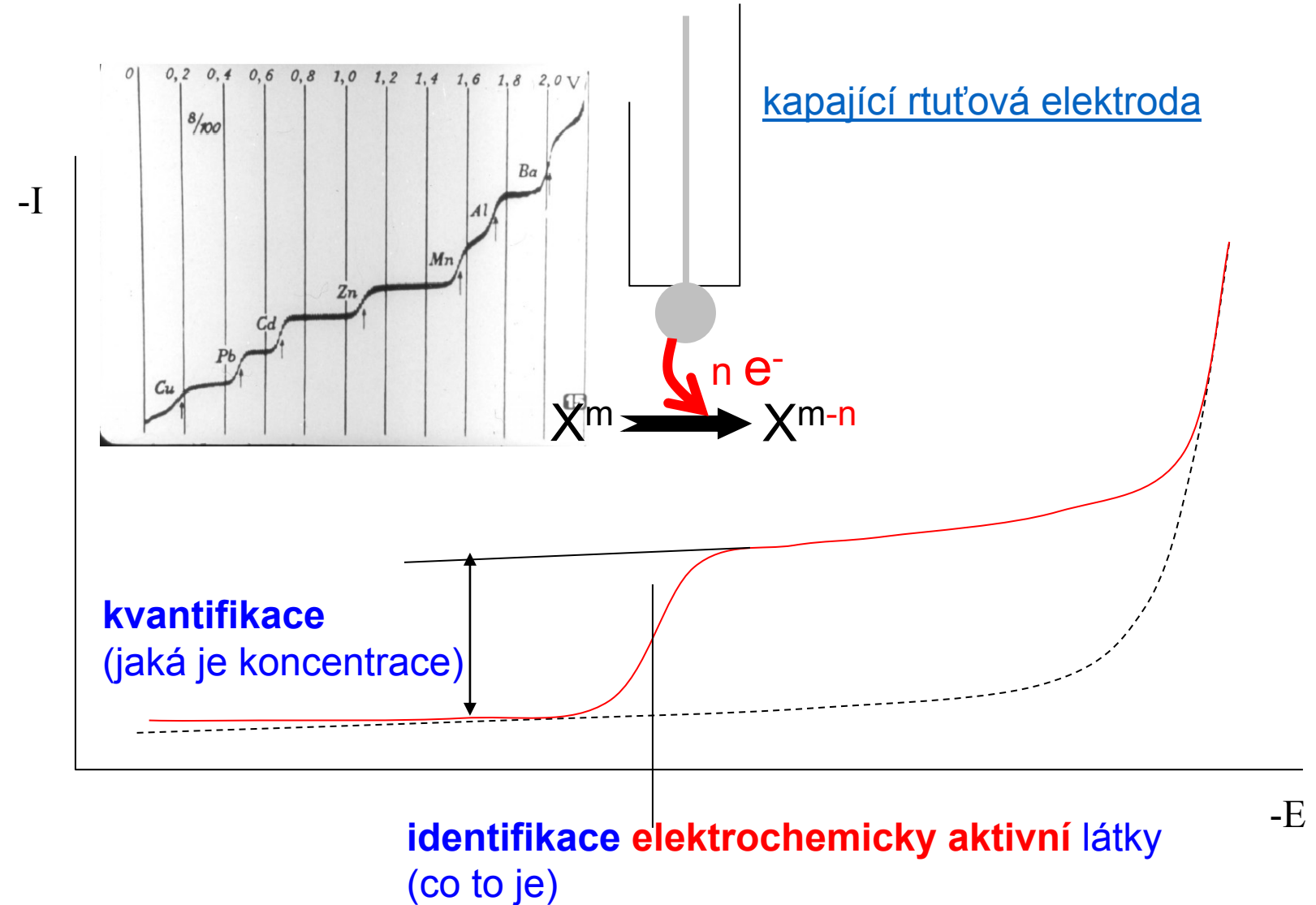
Jaroslav Heyrovský



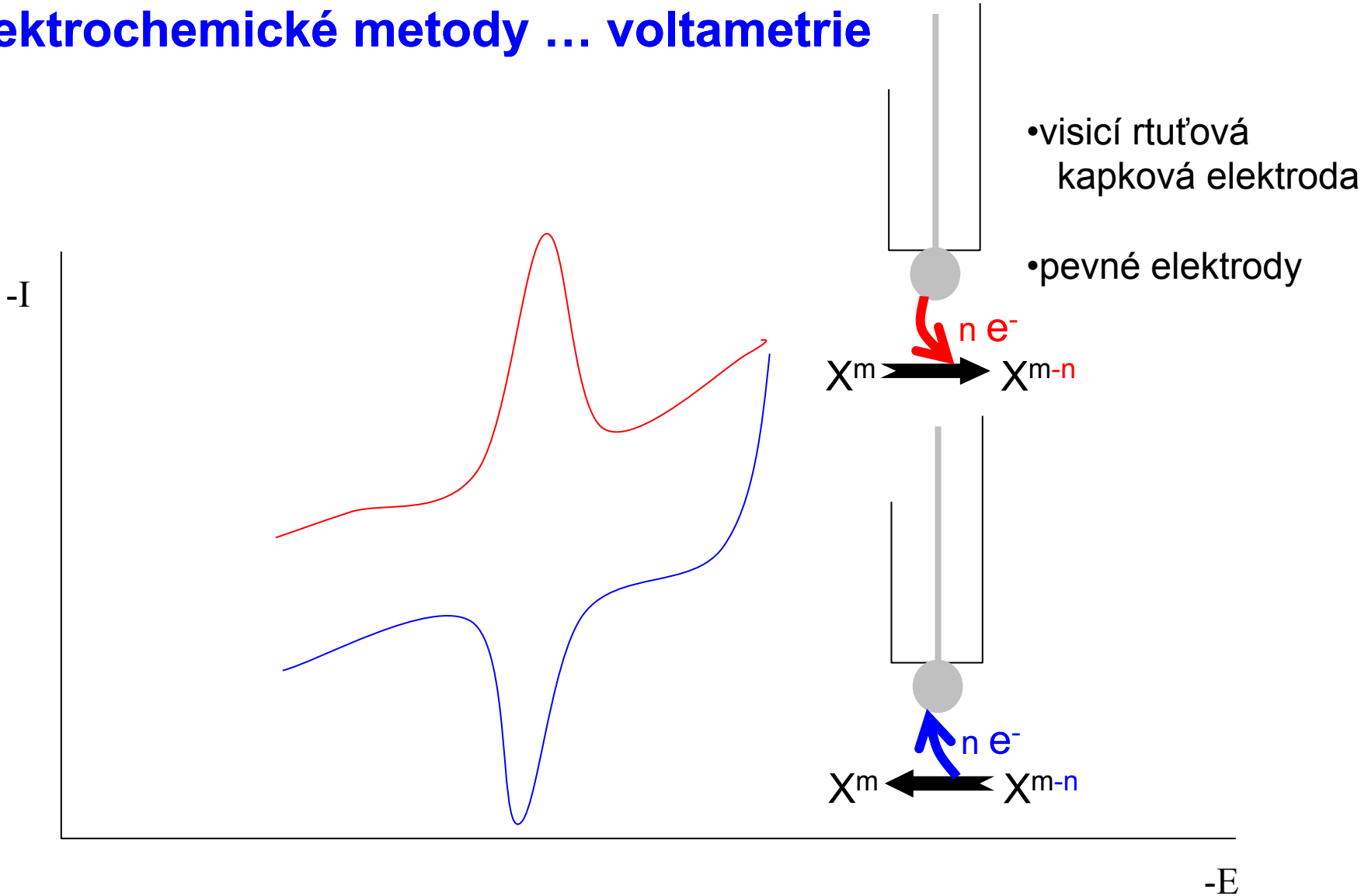
J. Heyrovský



Nobelova cena 1959



Elektrochemické metody ... voltametrie



Emil Paleček (od 50 let): polarografie DNA



Česká Hlava 2014

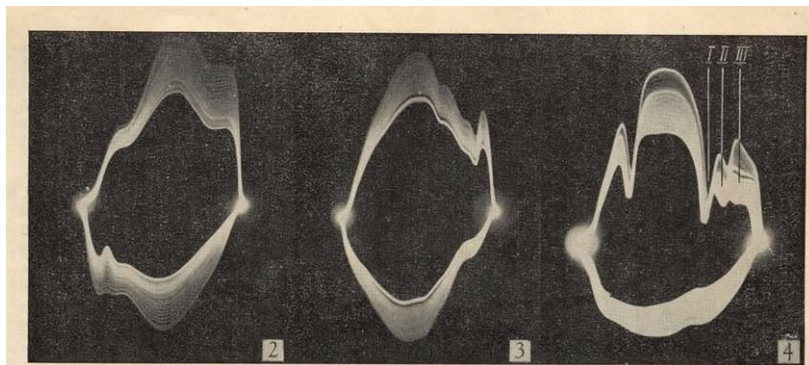


Fig. 2. 100 µgm. deoxyribonucleic acid/ml. 1 M ammonium formate
Fig. 3. Apurinic acid in 2 M ammonium formate (concentration corresponding to 2 mgm. of deoxyribonucleic acid)
Fig. 4. 900 µgm. deoxyribonucleic acid + 5 µgm. plasma albumin/l ml. 10⁻³ M hexamine cobaltic trichloride in 0.1 M ammonium chloride-ammonium hydroxide. Indentations due to cobalt, I; deoxyribonucleic acid, II; protein, III

(Reprinted from *Nature*, Vol. 188, No. 4751, pp. 656-657, November 19, 1960)

Oscillographic Polarography of Highly Polymerized Deoxyribonucleic Acid

PROCEEDING from my finding^{1,2} that nucleotides, nucleosides and the bases of nucleic acids can be analysed by alternating current oscillographic polarography³⁻⁵, I have also tried to study polymerized deoxyribonucleic acid by this method.

The apparatus used was a Polaroskop P 524 (Křížík, Praha). With this apparatus it is possible to plot dE/dt against E (Fig. 1). The analysis was carried out by means of the dropping mercury electrode in the same electrolytes as were used in my previous work^{1,2}. All measurements were carried out with specimens of deoxyribonucleic acid from calf thymus.

I have established that in a medium of molar ammonium formate, deoxyribonucleic acid shows an anodic indentation at the same potential as deoxyguanylic acid (Fig. 2). Other characteristics of both indentations are also analogous (dependence on direct voltage, temperature, concentration of the electrolyte), which appears to indicate that due to

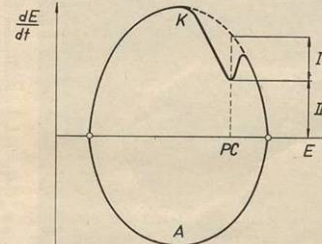
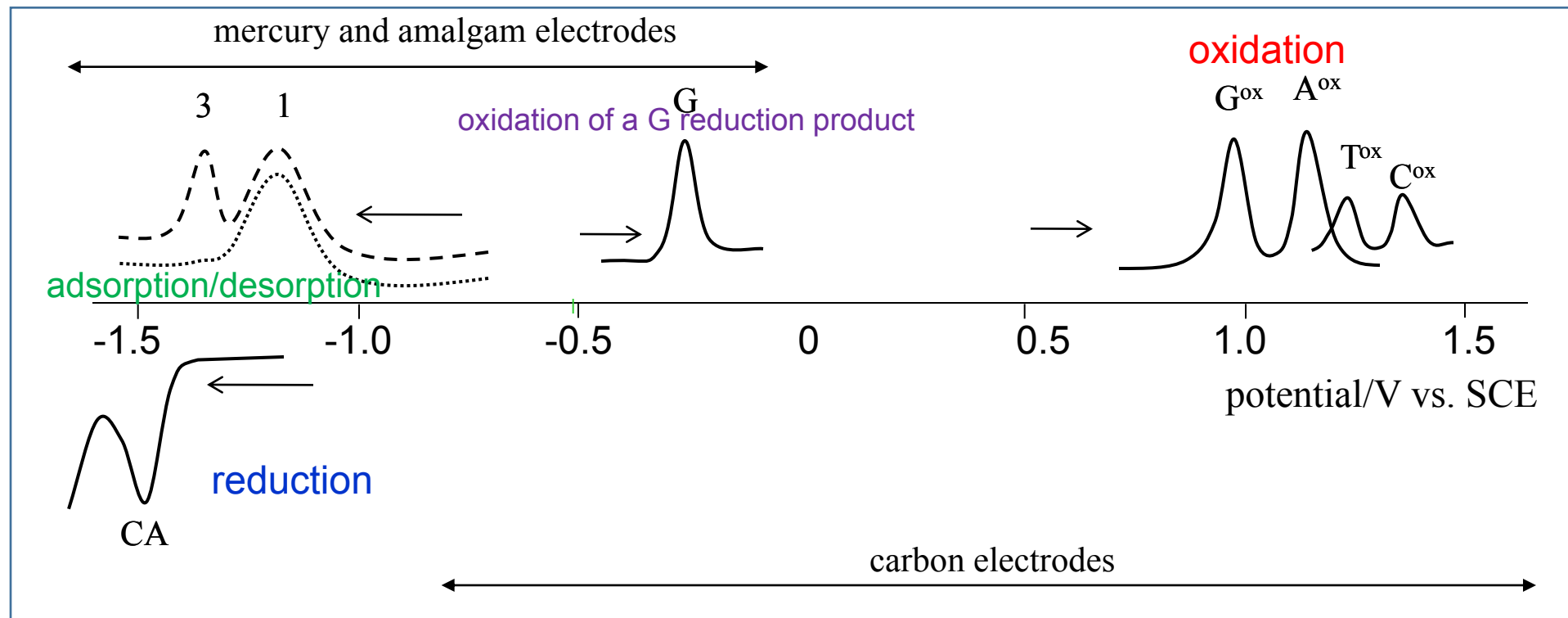
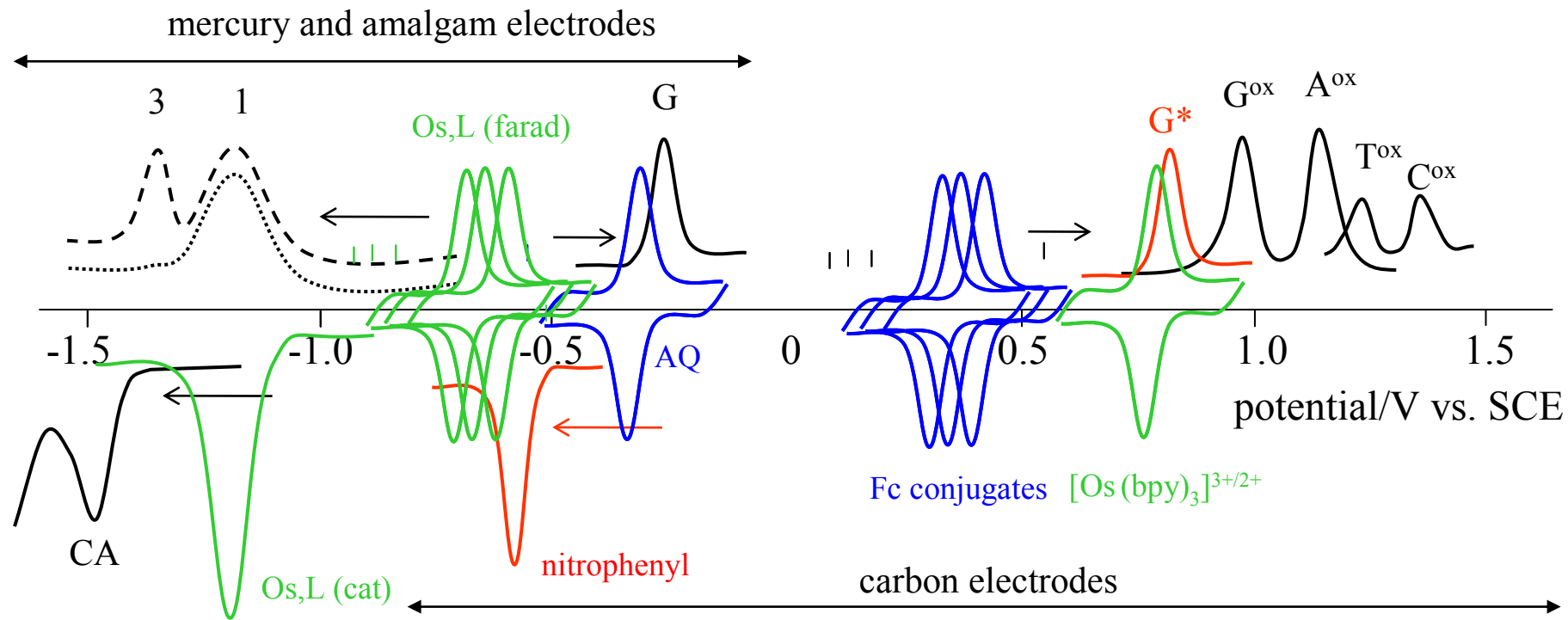


Fig. 1. Graph of dE/dt against E . The nature of the material analysed is determined by the position of the indentation (PC), which is somewhat similar to the polarographic half-wave potential. The quantity of the material is characterized by the depth of the indentation. For qualitative analysis, the height II , which can be measured much more easily, is generally measured.
 K , Cathodic part; A , anodic part

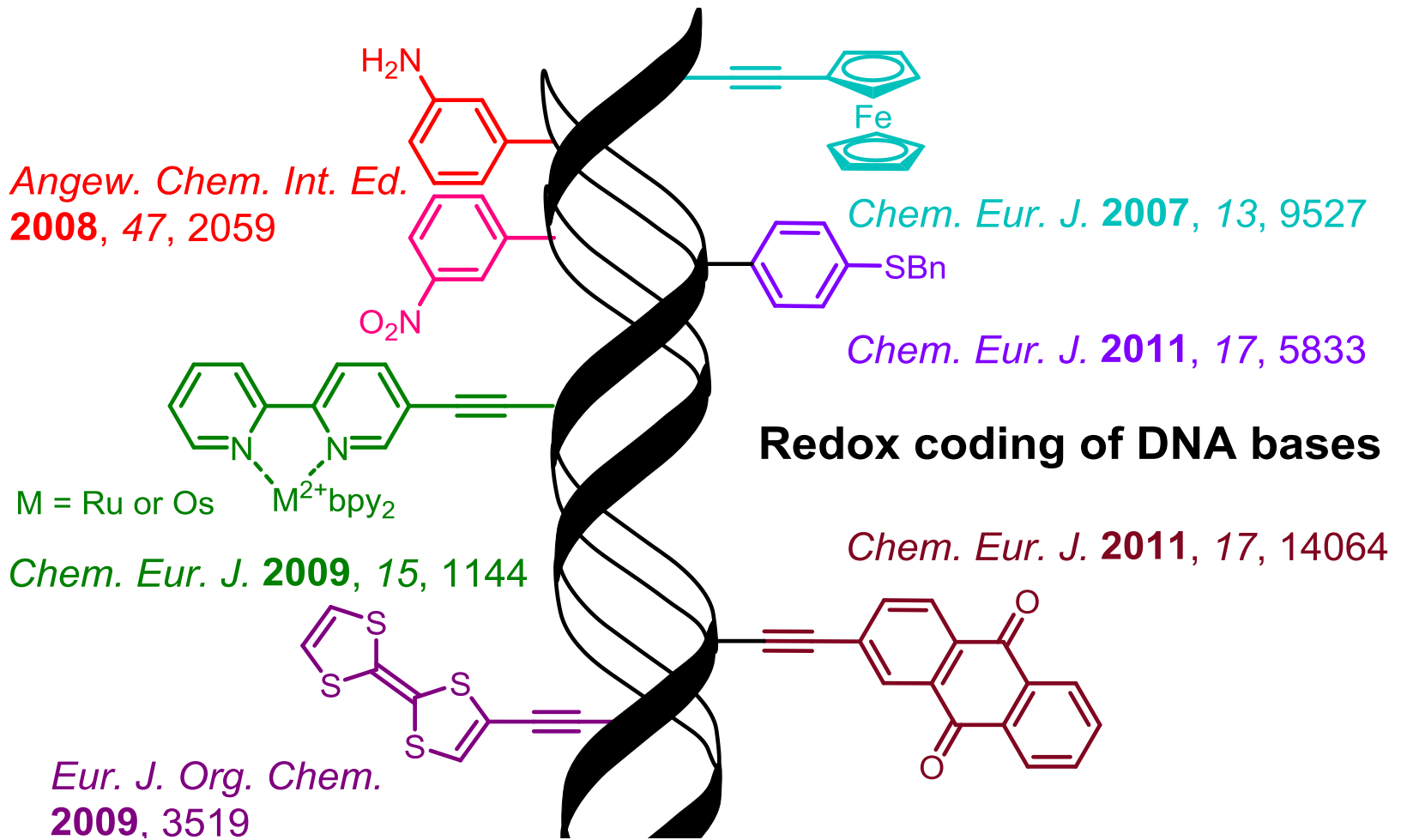
Elektroaktivita DNA



„Spektrum“ redox potenciálů různých značek

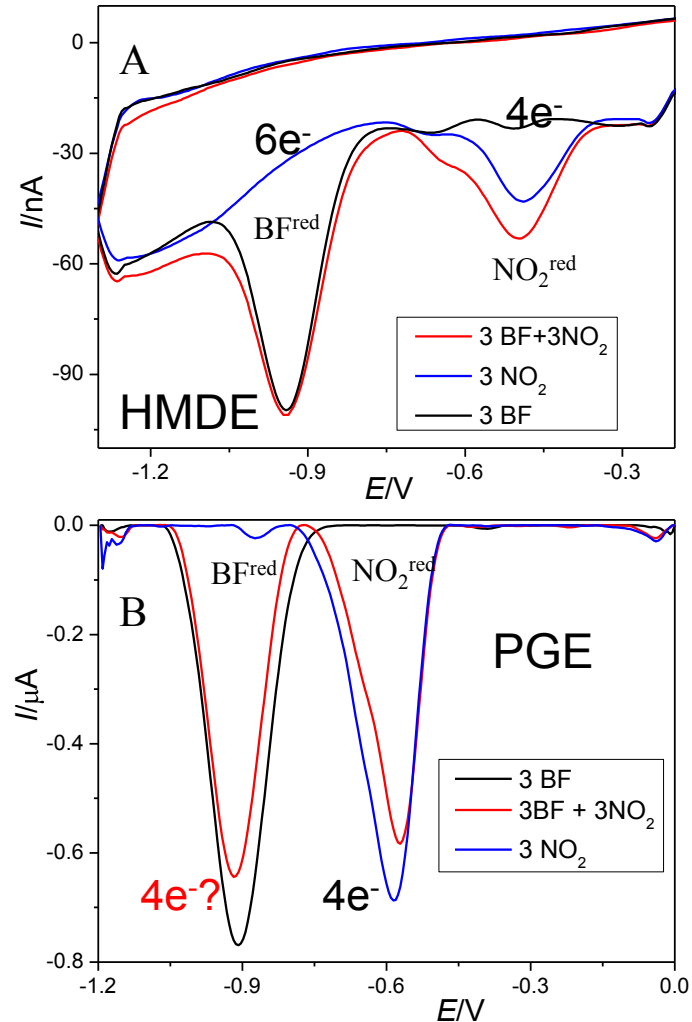


a palette of labels producing distinct electrochemical responses

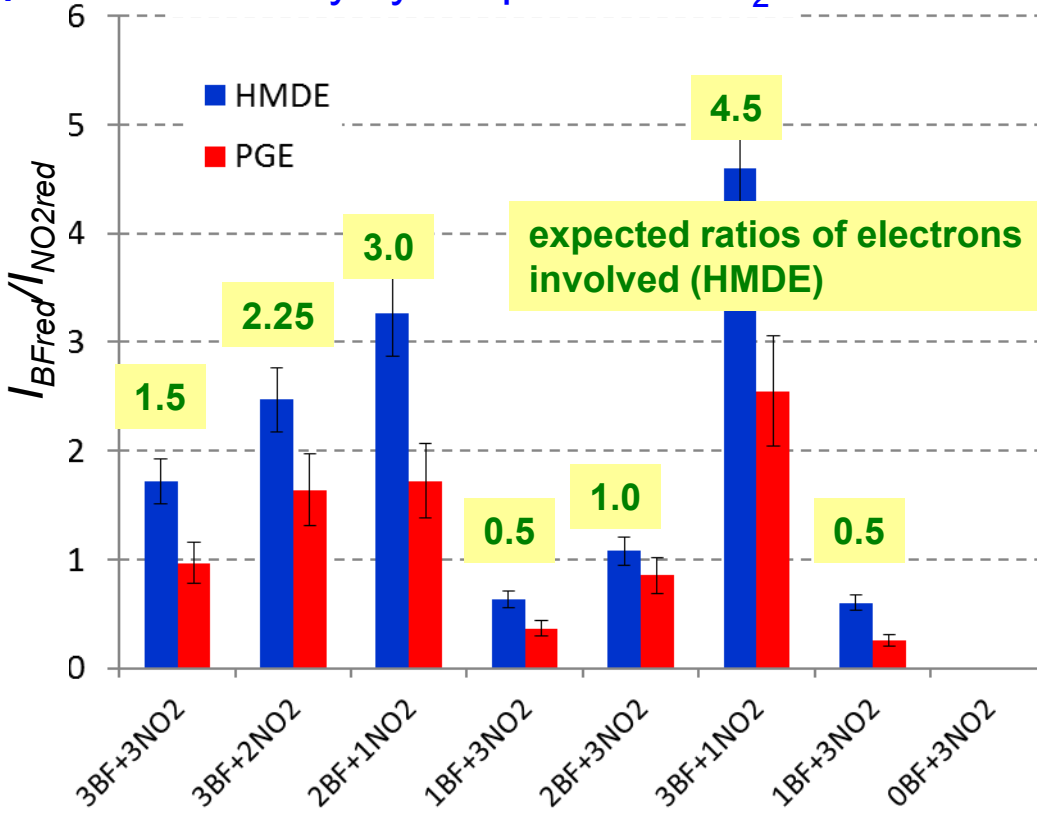


Kombinace benzofurazanu a nitrofenylu

3BF a/nebo 3NO₂ v 30-meru DNA



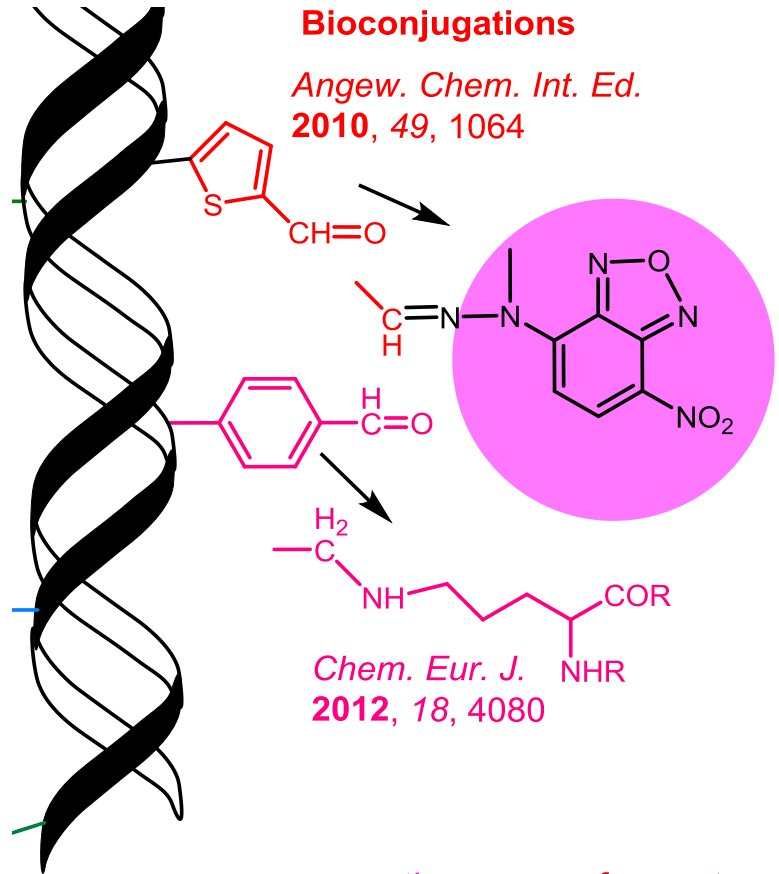
Poměry výšek píků BF/NO₂



Přístup vhodný pro snadné seldování
relativních změn v zastoupení jednotlivých bazí
v daném úseku DNA

Háčky a věšáčky



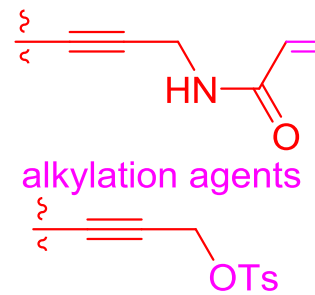


-DNA se opatří háčky při její enzymatické syntéze (malé chemické skupiny)

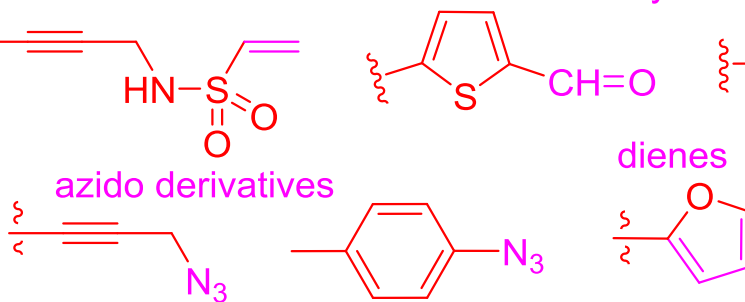
-k nim je pak možno připojit další molekuly

reactive groups for post-synthetic bioconjugations and cross-linking:

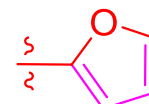
Michael acceptors



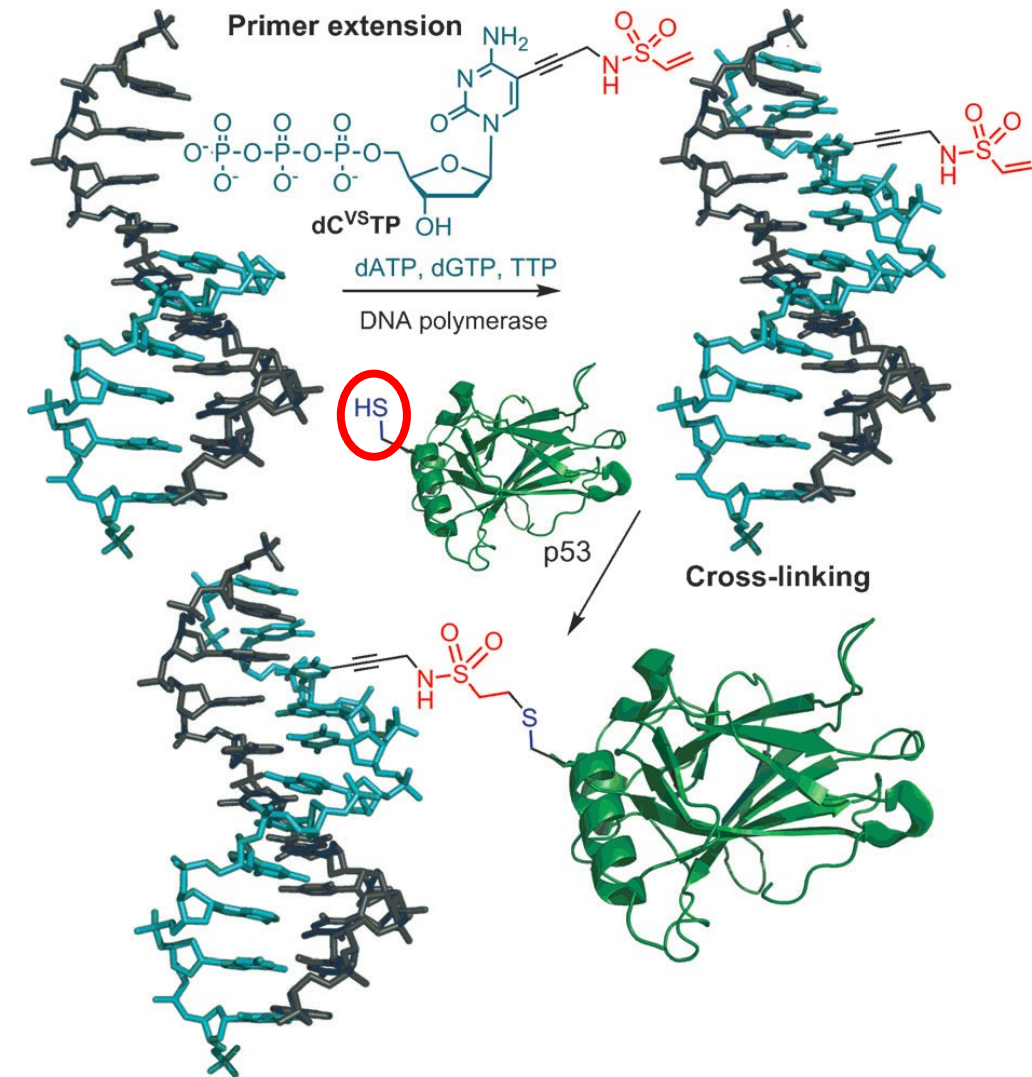
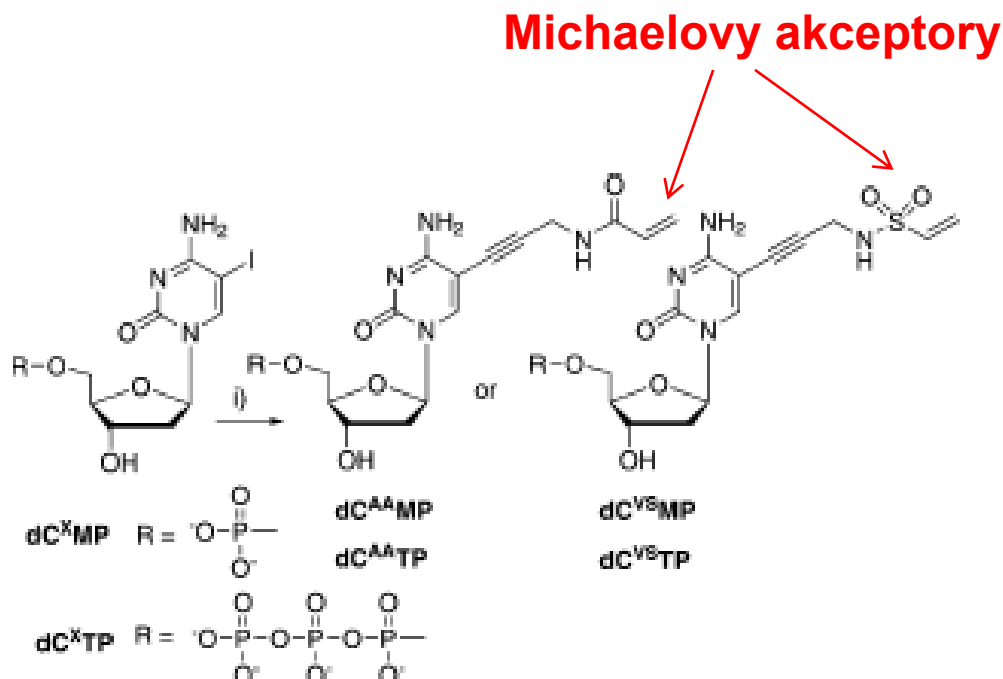
aldehydes



dienes



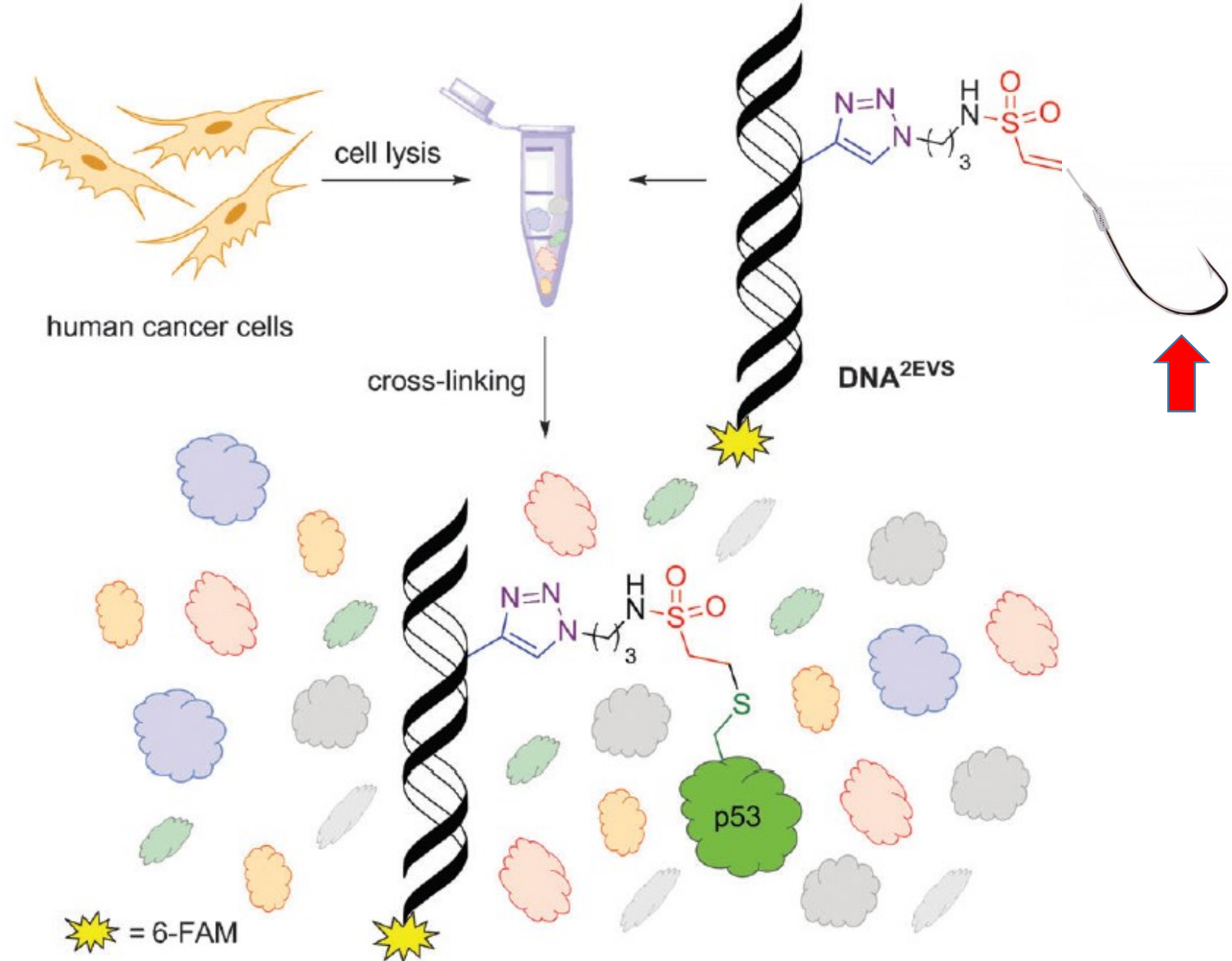
Zachycení proteinu na DNA nesoucí vhodný háček



- reakce Michaelových akceptorů na DNA s -SH skupinami proteinu
- podmírkou je správné navázání proteinu na sekvenci DNA, kterou rozpoznává, aby se obě reaktvní skupiny dostaly do vzájemné blízkosti

Molekulární rybaření

- vychytávání specifického proteinu z buněčného lyzátu





Děkuji za pozornost!

Moderní biofyzikální metody: pokročilé praktické vzdělávání v experimentální biologii
(CZ.1.07/2.3.00/09.0046)



EVROPSKÁ UNIE



MINISTERSTVO ŠKOLSTVÍ,
MLÁDEŽE A TĚLOVÝCHOVY



OP Vzdělávání
pro konkurenčeschopnost

INVESTICE
DO ROZVOJE
VZDĚLÁVÁNÍ